

NILU : OR 60/98
REFERANSE : O-98051
DATO : OKTOBER 1998
ISBN : 82-425-1020-2

**Beregning av
trafikkforurensning i
Steinkjer i forbindelse
med planer for ny E6**

Dag Tønnesen

Innhold

| | Side |
|-------------------------------------------------------------------------------------------------------------|-----------|
| Sammendrag..... | 3 |
| 1. Innledning | 5 |
| 2. Metodebeskrivelse | 5 |
| 3. Luftkvalitetskriterier | 7 |
| 4. Bakgrunnskonsentrasjoner | 7 |
| 5. Beregninger..... | 8 |
| 6. Hyppighet av forekomst av beregnede konsentrasjoner | 20 |
| 7. Referanser | 21 |
| Vedlegg A Anbefalte luftkvalitetskriterier og helseeffekter av nitrogendioksid og svevestøy..... | 23 |
| Vedlegg B Trafikktall | 29 |
| Vedlegg C Beregningsresultater; NO_x fra trafikken i området | 35 |
| Vedlegg D Isokonsentrasjonskurver for belastning av NO₂ ved sørlig vind..... | 39 |

Sammendrag

Norsk institutt for luftforskning (NILU) har på oppdrag fra Statens Vegvesen Nord-Trøndelag (SVNT) utført beregninger av luftforurensning fra biltrafikk ved Nordsileiret i Steinkjer for dagens vegløsning og for en alternativ løsning med E6 i tunnel. For begge alternativer er det utført beregninger for en trafikksituasjon med rushtidstrafikk for år 2005.

Beregningene er utført for nitrogendioksid (NO_2) som er en god indikator for problemomfang vedrørende luftforurensning fra biltrafikk. I tillegg er svevestøvproblematikken vurdert på bakgrunn av de beregnede konsentrasjonene av NO_2 og målte konsentrasjoner av NO_2 og svevestøv. I beregningene er det tatt hensyn til bakgrunnsbidrag fra bakgrunnskilder fra omkringliggende veier når disse gir maksimalt bidrag. Slike situasjoner kan inntrefte i perioder med rushtrafikk morgen/ettermiddag, samtidig med dårlige spredningsforhold.

En sammenligning mellom beregningene for dagens trafikksituasjon og alternativ trafikkløsning med tunnel viser at forskjellen mellom alternativene er størst for vind fra sør. For vind fra de to hyppigst forekommende vindretningene, vind fra 60° og vind fra 240° , er forskjellene størst for den sistnevnte. Området vest for planlagt ny trasé av E6 får gjennomgående dårligere luftkvalitet med tunnelløsningen, mens området øst for Bomveien vil få dårligst luftkvalitet med dagens veisystem. Overskridelse av luftkvalitetskriteriet for NO_2 -forurensning ved boenheter forekommer for dagens vegløsning, men ikke for tunnelalternativet.

NILU har vinteren 1997/98 på oppdrag fra SVNT gjennomført målinger av dagens luftforurensningsnivå i området nær søndre tunnelmunning ved den planlagte nye E6. På bakgrunn av målte konsentrasjoner av NO_2 og svevestøv er svevestøvsforurensning i beregningsområdet anslått.

Overskridelser av retningslinjer for luftkvalitet vil være markert større for svevestøv enn for nitrogendioksid, og vil kunne forekomme i hele beregningsområdet uansett hvilken vegløsning som velges. Under NILUs måleprogram ble det også stilt til rådighet meteorologiske data målt av Det Norske Meteorologiske Institutt (DNMI). Disse dataene er anvendt for å vurdere forekomst av beregnede konsentrasjoner.

Beregning av trafikkforurensning i Steinkjer i forbindelse med planer for ny E6

1. Innledning

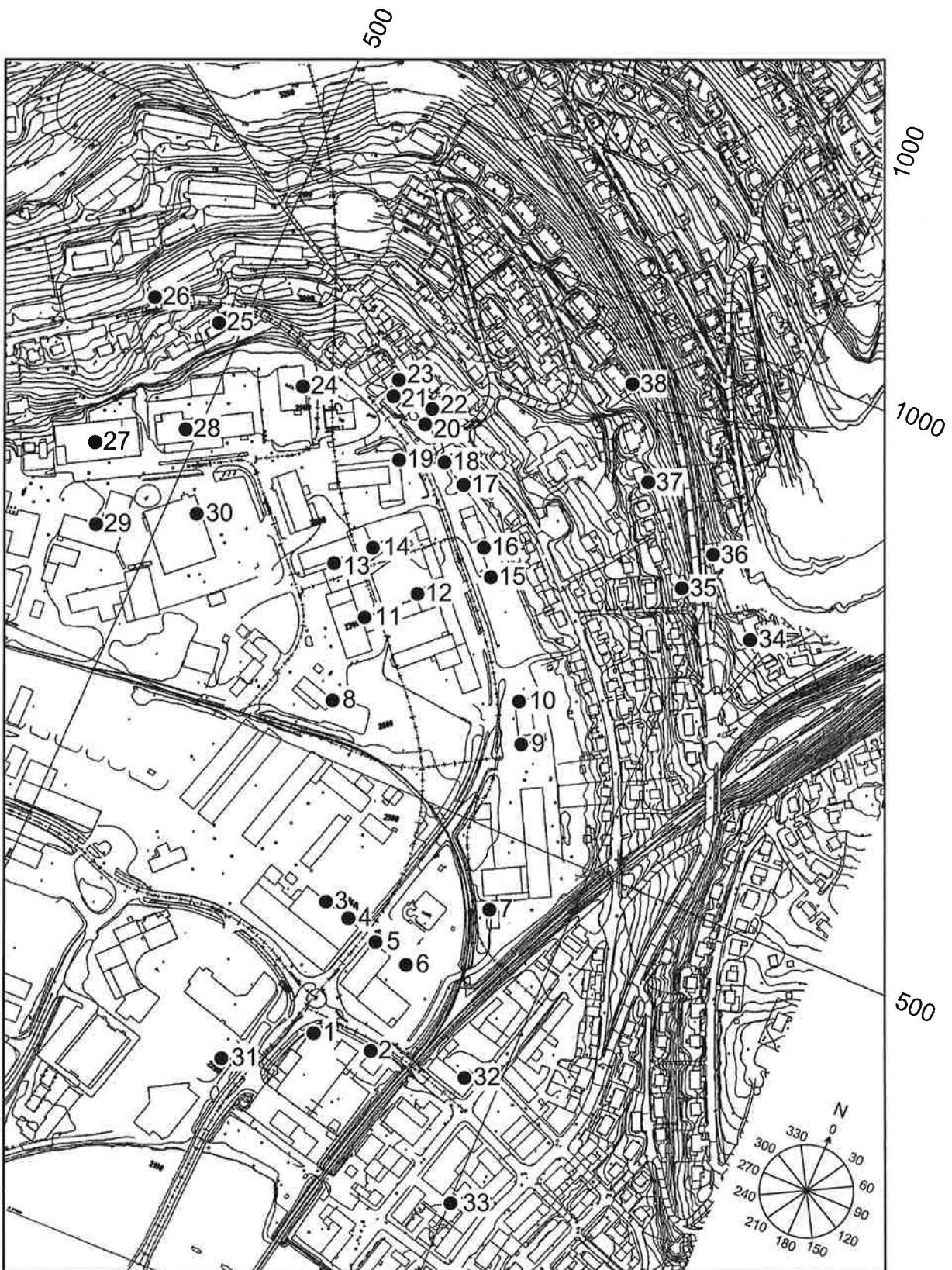
Norsk institutt for luftforskning (NILU) har på oppdrag fra Statens vegvesen Nord-Trøndelag (SVNT) utført spredningsberegninger for utslipp fra biltrafikk ved Nordsileiret i Steinkjer for dagens trafikkløsning, og for en alternativ løsning med E6 i tunnel under Eggelia. Tunnelmunningen ligger i et bolig- og forretningsområde som på grunn av topografi og spredningsforhold antas å ha høy belastning av luftforurensning. NILU har også gjennomført målinger av dagens luftforurensningsnivå i området nær sørøvre tunnelmunning (Hagen, 1998).

2. Metodebeskrivelse

For å kvantifisere forskjellen i luftforurensningsbelastning i områdene ved ulike ”reseptorpunkter” er utslipp av NO_x og NO_2 beregnet fra veisystemet. I beregningene ble det brukt antatte trafikktall for 2005. De veiene som inngår i beregningene er vist på figurer i vedlegg B. Her er også inngangsdataene for trafikkmengde, tungtrafikkandeler og hastigheter vist.

Det er beregnet utslipp og spredning av NO_2 fra veistystemene for å kvantifisere ulik luftforurensning i ulike avstander fra veisystemet.

Utslippene ble anvendt i spredningsmodellen ”TRAFORO”, som er basert på Environment Protection Agency’s (EPA’s) modell HIWAY2. Modellen TRAFORO ble blant annet benyttet i undersøkelsen ”Trafikk og Miljø” utført i Vålerenga/Gamlebyen i Oslo. Modellen beregner forurensning i gitte ”reseptorpunkter” for et antall oppgitte spredningssituasjoner. Ved å variere vindretningen oppnås derved en beregning av både maksimalbelastning og hvilken belastning som inntrer ved hyppigst forekommende spredningsforhold. De anvendte reseptorpunktene er vist i Figur 1. NILUs målestasjon for luftkvalitet lå mellom reseptorpunktene 20 og 21.



Figur 1: Resultatene fra spredningsberegningene er gitt for alle de 33 reseptorpunktene vist på figuren, for fire ulike scenarier.

3. Luftkvalitetskriterier

Statens forurensningstilsyn (SFT) har gitt ut en veileding til forskrift om grenseverdier for lokal luftforurensning og støy (SFT, 1998). For nitrogendioksid (NO_2) og svevestøv (PM_{10} ; partikler med diameter $<10 \mu\text{m}$) er de anbefalte luftkvalitetskriteriene henholdsvis $100 \mu\text{g NO}_2/\text{m}^3$ som timemiddel ($75 \mu\text{g NO}_2/\text{m}^3$ som døgnmiddel) og $35 \mu\text{g PM}_{10}/\text{m}^3$ som døgnmiddel.

Ved fastsettelse av SFTs anbefalte luftkvalitetskriterier er det anvendt en usikkerhetsfaktor på 5. Dette betyr at eksponeringsnivåene må være 5 ganger høyere enn angitt verdi før det med sikkerhet er konstatert skadelige effekter. De anbefalte kriterier kan derfor ikke tolkes slik at nivåer over disse er definitivt helseskadelig, men at det heller ikke kan utelukkes effekter hos spesielt sårbare individer selv ved nivåer under anbefalt kriterium.

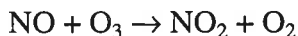
Se for øvrig vedlegg A.

4. Bakgrunnskonsentrasjoner

I tillegg til forurensningsbidraget fra veien er det tatt med bakgrunnsforurensning. Bakgrunnsnivået kan bestå av bidrag fra trafikk i nærliggende veier, industriutslipp, utslipp fra olje, kull og ved til arealoppvarming, samt langtransportert forurensning.

De høyeste forurensningskonsentrasjonene opptrer erfaringsmessig i vinterhalvåret, på grunn av oppvarmingsbehov og dårlige spredningsforhold.

Utslippene av nitrogenokside fra biltrafikk og fyring skjer vesentlig som NO , med en NO_2 -andel på 5-15%. En vesentlig del av NO_2 -konsentrasjonene kommer fra oksidasjon av NO med langtransportert ozon (ozon i luften som kommer inn i beregningsområdet), og vil ha innvirkning på NO_2 -konsentrasjonen via reaksjonen:



Bakgrunnsverdien for ozon er den samme for alle veiløsningene. Det er brukt en konsentrasjon på $60 \mu\text{g/m}^3$ for ozon i beregningene for maksimal timeverdi av NO_2 . Dette er en representativ timemiddelverdi for å vurdere forurensning under vinterforhold i Norge, og er den verdien som også blir brukt i det nasjonale beregningsprogrammet VLUFT.

For NO_2 og PM_{10} vil bakgrunnsnivået variere med størrelsen på tettstedet, samt vindforholdene om vinteren. I tillegg vil bakgrunnsnivået også normalt avta fra sentrum av tettsteder mot utkantområdene. Den anvendte bakgrunnskonsentrasjonen for timemidlet NO_2 er basert på måleresultatene og på typisk døgnvariasjon av bakgrunnskonsentrasjon. For området er det valgt en maksimal bakgrunnskonsentrasjon på $75 \mu\text{g NO}_2/\text{m}^3$ (inklusive $60 \mu\text{g O}_3/\text{m}^3$). Denne verdien representerer et maksimaltillegg for timemiddelkonsentrasjoner fra NO_2 -utslipp som ikke er med i beregningene og fra oksidering av NO fra trafikkutslippen.

Den midlere belastningen over døgnet vil være betydelig lavere på grunn av variasjonen i ozonkonsentrasjon og NO_x-utslipp. I enkelte deler av området vil det for gitte vindretninger ikke være tilstrekkelig NO til stede for å få omdannet alt ozon til NO₂, og i disse områdene vil bakgrunnskonsentrasjonen bli mindre enn 75 µg NO₂/m³.

5. Beregninger

Spredningsberegningsene er utført for tolv vindretninger (30° sektorer rundt hele vindrosen). Beregningene er gjennomført for NO₂. Da det er flere og mer usikre og dårligere kartlagte variable (som oppvirvling, slitasje og vegbanefuktighet) som bestemmer utslippsmengden av vegpartikkeldelen av svevestøv, er det ikke gjennomført beregninger for svevestøv. Forurensningen av svevestøv er isteden vurdert på bakgrunn av resultater fra det utførte måleprogrammet. En ytterligere kompliserende faktor skyldes at luftkvalitetskriteriene for svevestøv er gitt som døgnmiddeleverdier, og for å modellere disse må man kartlegge både utslipps- og spredningsvariasjon fra time til time over døgnet. For å illustrere vei-generert forurensning fra de ulike alternativene også for svevestøv er beregningsresultatene for NO_x vist i vedlegg C. Støvforurensning på timebasis vil være proporsjonal med NO_x-konsentrasjonene.

Beregningsresultater for alle beregningspunkter og 12 vindretninger er vist i tabeller. Beregningspunkter ved boliger er vist på gråtonet bakgrunn. (Ved punkt 31 er det boliger under oppføring.) Tabell 1 viser tunnel, Tabell 2 viser framtidig trafikk med dagens vegsystem, Tabell 3 viser forkortet tunnel og Tabell 4 viser utslipp av tunnellsuft gjennom søndre munning. Tabell 5 viser konsentrasjonene ved en økning av trafikken med 25% på alle veiene i beregningsområdet. Tabell 6 viser konsentrasjoner ved økt trafikk på ny E6 og ingen trafikk på gamle E6 nord for steinbrua. For å synliggjøre forskjellene mellom løsninger og alternativer er det regnet ut differanser mellom noen av dem. Differansene er vist på samme måte som konsentrasjonene, for alle reseptorpunkter og for 12 vindretninger. De differansene som er beregnet og vist er: tunnel - dagens vegløsning (Tabell 7), tunnel - forkortet tunnel (Tabell 8), tunnel uten utslipp - tunnel med utslipp i søndre munning (Tabell 9) og tunnelløsning med - tunnelløsning uten trafikk på gamle E6 (Tabell 10).

For alle beregningene har vi tatt utgangspunkt i at maksimal timetrafikk (rushtrafikk) utgjør ca. 10% av årsdøgntrafikk (ÅDT). Trafikk-tall for tunnelløsningen er vist i vedlegg B.

Beregningene viser at for tunnelalternativet (tabell 1) kan beregnet timekonsentrasjon av NO₂ bli over luftkvalitetskriteriet ved punktene 1, 4 og 5. For alternativet "dagens løsning" (Tabell 2) blir det beregnet konsentrasjon over luftkvalitetskriteriet ved punkt 1 og 34. En økning av trafikken på 25% (Tabell 5) gir overskridelse av luftkvalitetskriteriet i ytterligere ett beregningspunkt (2). Maksimalbelastningen for alle punkter og vindretninger øker imidlertid bare med ca 8%. Dette kommer av at "bakgrunnstillegget" på 75 µg/m³ utgjør over halvparten av totalkonsentrasjonen. En forkorting av tunnelpåbygget med 20 m medfører merkbar endring bare nær tunnelen (Tabell 3). For noen vindretninger

øker konsentrasjonen i enkelte punkter med 10-20 $\mu\text{g}/\text{m}^3$ (se Tabell 8). Utslipp gjennom munningen i sør ved maksimal timetrafikk medfører økning av konsentrasjonen for de aller fleste beregningspunktene (Tabell 4 og Tabell 9). Nivået på økningen varierer fra under 10 $\mu\text{g}/\text{m}^3$ til over 80 $\mu\text{g}/\text{m}^3$.

Omlegging av mer trafikk til ny E6 (Tabell 6) medfører overskridelse av luftkvalitetskriteriet i ytterligere ett beregningspunkt (2). Forskjellen til den opprinnelige trafikkfordelingen (Tabell 10) er mest merkbar ved boligene ved gamle E6, og reduksjonen i belastning for disse er større enn økningen i belastning for beregningspunktene nær ny E6.

Tabell 7 viser forskjellen mellom tunnelalternativet og dagens løsning. Av tabellen framgår det at beregningspunktene i vestre deler av området gjennomgående får dårligere luftkvalitet med tunnelløsning, mens punktene nær og øst for dagens trasé for Bomveien, og spesielt beregningspunktene langs gamle E6 (34-38) får dårligere luftkvalitet med dagens løsning. Forskjellene er større for sørvestlig vind enn for nordøstlig vind. De største forskjellene inntreffer for vind fra sør, som forekommer sjeldent (2,5%). Isokonsentrationskurver for denne vindretningen og de to hovedalternativene er vist i vedlegg D.

Ved veikant er maksimal timemiddelkonsentrasjon av NO_2 en faktor 2,3 høyere enn maksimal døgnmiddelkonsentrasjon som følge av utslippsvariasjonen over døgnet. Ved litt avstand fra veikanten vil man i tillegg få effekt av variasjon i spredningsforhold. En rapport fra DNMI (1998) om målinger av meteorologiske forhold på Nordsileret i 1996-98 viser en vindretningsfordeling med to hovedvindretninger og en høy forekomst av svak vind (38,3% under 1 m/s i vintermånedene). I slike situasjoner vil forholdet mellom maksimal timemiddelkonsentrasjon og maksimal døgnmiddelkonsentrasjon i punkter utenfor veisonen øke med en faktor på ca 1,5 for hovedvindretningen, slik at forholdet mellom maksimal timemiddelkonsentrasjon og maksimal døgnmiddelkonsentrasjon blir 3,45. Ved Nordsileieret er hovedvindretningene vind fra 60°, 90° og 240° (nordøst, øst og sørvest). De høyeste beregnede timemiddelkonsentrasjonene ligger på 110 $\mu\text{g}/\text{m}^3$, og verdien nærmest NILUs målestasjon er på ca 90 $\mu\text{g}/\text{m}^3$ for dagens løsning. Dette svarer til døgnmiddelkonsentrasjoner på henholdsvis 32 og 26 $\mu\text{g}/\text{m}^3$, og er nært observert maksimalverdi på målestasjonen på 33 $\mu\text{g}/\text{m}^3$. Målingene viste at under de høyeste støvforeurensningsdøgnene var svevestøvkonsentrasjonen 5 ganger høyere enn konsentrasjonen av NO_2 . Maksimal døgnmiddelkonsentrasjon av svevestøv for de mest belastede punktene kan derfor ligge på ca 160 $\mu\text{g}/\text{m}^3$, vurdert ut fra maksimal timemiddelkonsentrasjon av NO_2 og faktorer for time/døgn og svevestøv/ NO_2 .

For beregningspunkt ved boliger er punkt 31 sterkest belastet. Døgnmiddelkonsentrasjonen av svevestøv kan her bli ca 135 $\mu\text{g}/\text{m}^3$.

Tabell 1: Resultatene fra spredningsberegninger for tunnelløsningen. Tabellen viser timekonsentrasjoner av NO_2 ($\mu\text{g}/\text{m}^3$) for vind fra ulike retninger. Maksimalt bakgrunnsnivå på $75 \mu\text{g } NO_2/\text{m}^3$ er inkludert (se kapitel 4). Største belastning for de enkelte reseptorpunkt er uthevet. Alle konsentrasjoner gitt i $\mu\text{g}/\text{m}^3$ som timemiddel.

| Punkt | x | y | 30 | 60 | 90 | 120 | 150 | 180 | 210 | 240 | 270 | 300 | 330 | 360 |
|-------|------|-----|-----|-----------|----|-----------|------------|-----------|------------|-----------|-----|-----------|------------|------------|
| 1 | 830 | 260 | 85 | 86 | 86 | 33 | 18 | 17 | 85 | 89 | 88 | 91 | 101 | 102 |
| 2 | 875 | 260 | 89 | 91 | 94 | 42 | 25 | 15 | 49 | 75 | 80 | 99 | 100 | 91 |
| 3 | 785 | 375 | 83 | 87 | 87 | 88 | 90 | 85 | 31 | 40 | 16 | 28 | 60 | 63 |
| 4 | 810 | 365 | 101 | 99 | 96 | 98 | 103 | 101 | 34 | 38 | 18 | 28 | 59 | 82 |
| 5 | 840 | 360 | 28 | 27 | 27 | 39 | 61 | 60 | 108 | 101 | 96 | 98 | 105 | 105 |
| 6 | 875 | 350 | 31 | 30 | 29 | 36 | 66 | 51 | 86 | 86 | 85 | 86 | 90 | 40 |
| 7 | 925 | 430 | 26 | 25 | 26 | 29 | 56 | 62 | 84 | 84 | 84 | 89 | 50 | 19 |
| 8 | 715 | 550 | 52 | 55 | 73 | 89 | 85 | 84 | 84 | 47 | 58 | 50 | 53 | |
| 9 | 895 | 585 | 19 | 27 | 24 | 24 | 29 | 46 | 87 | 85 | 62 | 50 | 19 | 19 |
| 10 | 870 | 615 | 19 | 24 | 24 | 23 | 31 | 84 | 85 | 82 | 67 | 56 | 20 | 18 |
| 11 | 710 | 630 | 85 | 85 | 87 | 92 | 85 | 62 | 70 | 54 | 53 | 44 | 89 | 87 |
| 12 | 750 | 670 | 25 | 26 | 30 | 28 | 83 | 85 | 82 | 79 | 82 | 54 | 17 | 23 |
| 13 | 665 | 670 | 83 | 83 | 84 | 86 | 82 | 83 | 62 | 53 | 65 | 36 | 74 | 84 |
| 14 | 690 | 695 | 19 | 21 | 28 | 28 | 93 | 90 | 87 | 86 | 88 | 86 | 27 | 19 |
| 15 | 775 | 735 | 18 | 18 | 22 | 22 | 56 | 85 | 72 | 62 | 50 | 24 | 17 | 18 |
| 16 | 755 | 760 | 18 | 18 | 22 | 23 | 56 | 83 | 62 | 51 | 42 | 23 | 17 | 18 |
| 17 | 750 | 785 | 18 | 18 | 21 | 23 | 46 | 82 | 55 | 51 | 33 | 19 | 18 | 19 |
| 18 | 725 | 795 | 19 | 18 | 20 | 23 | 56 | 78 | 56 | 58 | 36 | 22 | 20 | 24 |
| 19 | 680 | 775 | 23 | 22 | 23 | 29 | 82 | 82 | 67 | 76 | 51 | 20 | 19 | 21 |
| 20 | 675 | 820 | 18 | 19 | 22 | 28 | 74 | 78 | 65 | 58 | 27 | 16 | 15 | 18 |
| 21 | 650 | 835 | 18 | 18 | 20 | 27 | 81 | 82 | 71 | 30 | 25 | 15 | 15 | 18 |
| 22 | 685 | 840 | 18 | 18 | 21 | 25 | 61 | 70 | 56 | 38 | 21 | 15 | 15 | 18 |
| 23 | 655 | 855 | 18 | 18 | 19 | 24 | 69 | 74 | 57 | 23 | 20 | 15 | 15 | 18 |
| 24 | 575 | 810 | 30 | 31 | 34 | 82 | 87 | 52 | 36 | 17 | 17 | 20 | 24 | 33 |
| 25 | 480 | 835 | 27 | 27 | 25 | 52 | 81 | 29 | 20 | 21 | 23 | 25 | 24 | 24 |
| 26 | 410 | 835 | 16 | 19 | 33 | 64 | 62 | 34 | 25 | 16 | 15 | 15 | 15 | 15 |
| 27 | 415 | 680 | 18 | 29 | 82 | 84 | 75 | 54 | 50 | 16 | 15 | 17 | 17 | 17 |
| 28 | 490 | 725 | 19 | 27 | 77 | 85 | 82 | 54 | 51 | 21 | 16 | 17 | 17 | 17 |
| 29 | 450 | 620 | 49 | 41 | 45 | 68 | 46 | 24 | 16 | 15 | 40 | 44 | 44 | 44 |
| 30 | 530 | 665 | 57 | 62 | 68 | 80 | 54 | 25 | 20 | 18 | 45 | 44 | 43 | 44 |
| 31 | 750 | 200 | 90 | 93 | 90 | 88 | 90 | 87 | 15 | 17 | 22 | 22 | 34 | 52 |
| 32 | 970 | 275 | 65 | 59 | 56 | 80 | 88 | 87 | 84 | 87 | 87 | 60 | 69 | 26 |
| 33 | 1000 | 170 | 68 | 69 | 61 | 61 | 62 | 21 | 15 | 47 | 57 | 82 | 87 | 63 |
| 34 | 1050 | 650 | 84 | 86 | 84 | 86 | 88 | 46 | 65 | 51 | 40 | 16 | 57 | 68 |
| 35 | 970 | 775 | 42 | 40 | 47 | 54 | 45 | 34 | 56 | 40 | 26 | 15 | 31 | 47 |
| 36 | 990 | 820 | 15 | 15 | 16 | 22 | 35 | 63 | 77 | 58 | 44 | 44 | 25 | 15 |
| 37 | 910 | 860 | 34 | 34 | 35 | 41 | 34 | 42 | 43 | 34 | 17 | 15 | 28 | 33 |
| 38 | 850 | 930 | 31 | 31 | 32 | 32 | 30 | 73 | 39 | 29 | 15 | 16 | 29 | 32 |

Tabell 2: Resultatene fra spredningsberegninger for dagens vegløsning. Tabellen viser timekonsentrasjoner av NO_2 ($\mu\text{g}/\text{m}^3$) for vind fra ulike retninger. Maksimalt bakgrunnsnivå på $75 \mu\text{g } NO_2/\text{m}^3$ er inkludert (se kapittel 4). Største belastning for de enkelte reseptorpunkt er uthevet. Alle konsentrasjoner gitt i $\mu\text{g}/\text{m}^3$ som timemiddel.

| Punkt | x | y | 30 | 60 | 90 | 120 | 150 | 180 | 210 | 240 | 270 | 300 | 330 | 360 |
|-------|------|-----|-----------|-----|-----------|-----------|------------|-----------|-----------|-----------|-----|------------|-----|-----------|
| 1 | 830 | 260 | 92 | 93 | 93 | 37 | 18 | 17 | 83 | 86 | 86 | 91 | 98 | 99 |
| 2 | 875 | 260 | 98 | 102 | 108 | 50 | 26 | 15 | 43 | 65 | 73 | 108 | 103 | 100 |
| 3 | 785 | 375 | 60 | 71 | 69 | 84 | 86 | 85 | 48 | 64 | 19 | 18 | 29 | 36 |
| 4 | 810 | 365 | 86 | 85 | 84 | 87 | 91 | 92 | 50 | 60 | 25 | 18 | 28 | 38 |
| 5 | 840 | 360 | 33 | 31 | 33 | 56 | 82 | 82 | 97 | 90 | 86 | 85 | 88 | 93 |
| 6 | 875 | 350 | 33 | 33 | 37 | 51 | 83 | 76 | 87 | 83 | 76 | 56 | 66 | 63 |
| 7 | 925 | 430 | 36 | 38 | 38 | 39 | 56 | 49 | 81 | 62 | 41 | 47 | 67 | 32 |
| 8 | 715 | 550 | 39 | 41 | 41 | 43 | 59 | 40 | 24 | 15 | 16 | 21 | 35 | 37 |
| 9 | 895 | 585 | 31 | 39 | 35 | 34 | 39 | 46 | 89 | 81 | 82 | 85 | 39 | 29 |
| 10 | 870 | 615 | 30 | 35 | 35 | 32 | 45 | 93 | 85 | 83 | 84 | 90 | 43 | 28 |
| 11 | 710 | 630 | 44 | 44 | 47 | 42 | 59 | 36 | 19 | 15 | 23 | 39 | 28 | 42 |
| 12 | 750 | 670 | 65 | 65 | 70 | 61 | 60 | 49 | 20 | 15 | 26 | 42 | 32 | 68 |
| 13 | 665 | 670 | 43 | 43 | 47 | 40 | 55 | 28 | 19 | 20 | 31 | 58 | 42 | 37 |
| 14 | 690 | 695 | 51 | 50 | 56 | 47 | 57 | 32 | 17 | 18 | 33 | 65 | 29 | 42 |
| 15 | 775 | 735 | 27 | 28 | 32 | 31 | 89 | 89 | 84 | 84 | 88 | 88 | 22 | 26 |
| 16 | 755 | 760 | 27 | 28 | 31 | 32 | 89 | 88 | 84 | 84 | 88 | 86 | 20 | 27 |
| 17 | 750 | 785 | 28 | 28 | 31 | 32 | 83 | 85 | 76 | 82 | 84 | 33 | 20 | 28 |
| 18 | 725 | 795 | 28 | 27 | 30 | 32 | 89 | 88 | 84 | 87 | 88 | 39 | 21 | 33 |
| 19 | 680 | 775 | 68 | 78 | 82 | 82 | 56 | 30 | 17 | 59 | 73 | 47 | 53 | 67 |
| 20 | 675 | 820 | 27 | 27 | 30 | 83 | 89 | 83 | 86 | 86 | 29 | 16 | 15 | 26 |
| 21 | 650 | 835 | 27 | 26 | 28 | 81 | 85 | 69 | 83 | 30 | 26 | 15 | 15 | 25 |
| 22 | 685 | 840 | 28 | 28 | 30 | 36 | 88 | 66 | 81 | 49 | 21 | 15 | 15 | 28 |
| 23 | 655 | 855 | 28 | 27 | 38 | 84 | 59 | 82 | 23 | 19 | 15 | 15 | 15 | 27 |
| 24 | 575 | 810 | 29 | 29 | 55 | 67 | 85 | 86 | 37 | 17 | 17 | 19 | 20 | 23 |
| 25 | 480 | 835 | 31 | 33 | 36 | 69 | 67 | 25 | 20 | 20 | 22 | 23 | 22 | 22 |
| 26 | 410 | 835 | 19 | 26 | 42 | 72 | 53 | 29 | 23 | 16 | 15 | 15 | 15 | 15 |
| 27 | 415 | 680 | 24 | 54 | 73 | 70 | 68 | 46 | 47 | 16 | 15 | 17 | 17 | 17 |
| 28 | 490 | 725 | 25 | 49 | 86 | 68 | 71 | 47 | 48 | 20 | 16 | 16 | 16 | 16 |
| 29 | 450 | 620 | 57 | 43 | 36 | 45 | 39 | 15 | 15 | 15 | 38 | 41 | 41 | 42 |
| 30 | 530 | 665 | 88 | 39 | 41 | 36 | 43 | 20 | 15 | 17 | 42 | 41 | 40 | 43 |
| 31 | 750 | 200 | 87 | 93 | 89 | 86 | 87 | 84 | 15 | 17 | 22 | 28 | 37 | 53 |
| 32 | 970 | 275 | 82 | 77 | 73 | 85 | 95 | 93 | 89 | 92 | 92 | 32 | 42 | 34 |
| 33 | 1000 | 170 | 86 | 84 | 74 | 74 | 76 | 22 | 15 | 44 | 54 | 83 | 86 | 84 |
| 34 | 1050 | 650 | 94 | 95 | 94 | 98 | 102 | 73 | 57 | 32 | 35 | 20 | 91 | 95 |
| 35 | 970 | 775 | 85 | 85 | 85 | 88 | 83 | 40 | 44 | 27 | 39 | 15 | 75 | 87 |
| 36 | 990 | 820 | 15 | 15 | 16 | 22 | 63 | 89 | 87 | 85 | 85 | 86 | 53 | 15 |
| 37 | 910 | 860 | 82 | 82 | 82 | 84 | 66 | 45 | 34 | 35 | 18 | 17 | 64 | 82 |
| 38 | 850 | 930 | 77 | 77 | 78 | 72 | 51 | 62 | 28 | 40 | 15 | 20 | 70 | 81 |

Tabell 3: Resultatene fra spredningsberegninger for tunnelløsningen med tunneloverbygg forkortet med 20 m. Tabellen viser timrkonsentrasjoner av NO_2 ($\mu\text{g}/\text{m}^3$) for vind fra ulike retninger. Maksimalt bakgrunnsnivå på $75 \mu\text{g NO}_2/\text{m}^3$ er inkludert (se kapittel 4). Største belastning for de enkelte reseptorpunkt er uthevet. Alle konsentrasjoner gitt i $\mu\text{g}/\text{m}^3$ som timemiddel.

| Punkt | x | y | 30 | 60 | 90 | 120 | 150 | 180 | 210 | 240 | 270 | 300 | 330 | 360 |
|-------|------|-----|-----------|-----------|----|-----------|------------|-----------|------------|-----------|-----|-----------|------------|------------|
| 1 | 830 | 260 | 85 | 86 | 86 | 33 | 18 | 17 | 85 | 89 | 88 | 91 | 101 | 102 |
| 2 | 875 | 260 | 89 | 91 | 94 | 42 | 25 | 15 | 49 | 75 | 80 | 99 | 100 | 91 |
| 3 | 785 | 375 | 83 | 87 | 87 | 88 | 90 | 85 | 31 | 40 | 16 | 28 | 61 | 63 |
| 4 | 810 | 365 | 101 | 99 | 96 | 98 | 103 | 101 | 34 | 38 | 18 | 28 | 60 | 82 |
| 5 | 840 | 360 | 28 | 27 | 27 | 39 | 61 | 60 | 108 | 101 | 96 | 98 | 105 | 105 |
| 6 | 875 | 350 | 31 | 30 | 29 | 36 | 66 | 51 | 86 | 86 | 85 | 86 | 91 | 40 |
| 7 | 925 | 430 | 26 | 25 | 26 | 29 | 56 | 62 | 84 | 84 | 84 | 89 | 51 | 19 |
| 8 | 715 | 550 | 52 | 55 | 73 | 89 | 89 | 85 | 84 | 84 | 47 | 58 | 51 | 53 |
| 9 | 895 | 585 | 19 | 27 | 24 | 24 | 29 | 46 | 87 | 85 | 62 | 51 | 19 | 19 |
| 10 | 870 | 615 | 19 | 24 | 24 | 23 | 31 | 84 | 85 | 82 | 67 | 57 | 20 | 18 |
| 11 | 710 | 630 | 85 | 85 | 87 | 92 | 85 | 62 | 70 | 54 | 53 | 44 | 90 | 87 |
| 12 | 750 | 670 | 25 | 26 | 30 | 28 | 83 | 85 | 82 | 79 | 82 | 54 | 18 | 23 |
| 13 | 665 | 670 | 83 | 83 | 84 | 86 | 82 | 83 | 62 | 53 | 65 | 36 | 77 | 84 |
| 14 | 690 | 695 | 19 | 21 | 28 | 28 | 93 | 90 | 87 | 86 | 88 | 86 | 33 | 19 |
| 15 | 775 | 735 | 18 | 18 | 22 | 22 | 56 | 85 | 72 | 62 | 50 | 26 | 17 | 18 |
| 16 | 755 | 760 | 18 | 18 | 22 | 23 | 56 | 83 | 62 | 51 | 43 | 25 | 17 | 18 |
| 17 | 750 | 785 | 18 | 18 | 21 | 23 | 46 | 82 | 55 | 51 | 37 | 19 | 18 | 19 |
| 18 | 725 | 795 | 19 | 18 | 20 | 23 | 56 | 78 | 56 | 58 | 44 | 22 | 20 | 24 |
| 19 | 680 | 775 | 23 | 22 | 23 | 29 | 82 | 82 | 67 | 76 | 55 | 30 | 19 | 21 |
| 20 | 675 | 820 | 18 | 19 | 22 | 28 | 74 | 78 | 66 | 67 | 33 | 16 | 15 | 18 |
| 21 | 650 | 835 | 18 | 18 | 20 | 27 | 81 | 82 | 78 | 48 | 25 | 15 | 15 | 18 |
| 22 | 685 | 840 | 18 | 18 | 21 | 25 | 61 | 70 | 57 | 50 | 21 | 15 | 15 | 18 |
| 23 | 655 | 855 | 18 | 18 | 19 | 24 | 69 | 74 | 68 | 26 | 20 | 15 | 15 | 18 |
| 24 | 575 | 810 | 30 | 31 | 64 | 84 | 86 | 52 | 36 | 17 | 17 | 20 | 24 | 33 |
| 25 | 480 | 835 | 27 | 27 | 26 | 52 | 81 | 29 | 20 | 21 | 23 | 25 | 24 | 24 |
| 26 | 410 | 835 | 16 | 19 | 35 | 64 | 62 | 34 | 25 | 16 | 15 | 15 | 15 | 15 |
| 27 | 415 | 680 | 18 | 31 | 82 | 84 | 75 | 54 | 50 | 16 | 15 | 17 | 17 | 17 |
| 28 | 490 | 725 | 19 | 32 | 77 | 85 | 82 | 54 | 51 | 21 | 16 | 17 | 17 | 17 |
| 29 | 450 | 620 | 49 | 41 | 45 | 68 | 46 | 24 | 16 | 15 | 40 | 44 | 44 | 44 |
| 30 | 530 | 665 | 62 | 62 | 68 | 80 | 54 | 25 | 20 | 18 | 45 | 44 | 43 | 44 |
| 31 | 750 | 200 | 90 | 93 | 90 | 88 | 90 | 87 | 15 | 17 | 22 | 22 | 34 | 53 |
| 32 | 970 | 275 | 65 | 59 | 56 | 80 | 88 | 87 | 84 | 87 | 87 | 60 | 70 | 26 |
| 33 | 1000 | 170 | 68 | 69 | 61 | 61 | 62 | 21 | 15 | 47 | 57 | 82 | 87 | 63 |
| 34 | 1050 | 650 | 84 | 86 | 84 | 86 | 88 | 46 | 65 | 51 | 40 | 16 | 57 | 68 |
| 35 | 970 | 775 | 42 | 40 | 47 | 54 | 45 | 34 | 56 | 40 | 27 | 15 | 31 | 47 |
| 36 | 990 | 820 | 15 | 15 | 16 | 22 | 35 | 63 | 77 | 58 | 45 | 44 | 25 | 15 |
| 37 | 910 | 860 | 34 | 34 | 35 | 41 | 34 | 42 | 43 | 34 | 18 | 15 | 28 | 33 |
| 38 | 850 | 930 | 31 | 31 | 32 | 32 | 30 | 73 | 39 | 31 | 15 | 16 | 29 | 32 |

Tabell 4: Resultatene fra spredningsberegninger for tunnelløsningen dersom ventilasjonslufta fra tunnelen slippes ut i søndre munning.
 Tabellen viser timekonsentrasjoner av NO₂ ($\mu\text{g}/\text{m}^3$) for vind fra ulike retninger. Maksimalt bakgrunnsnivå på 75 μg NO₂/m³ er inkludert (se kapittel 4). **Største belastning for de enkelte reseptorpunkt er utehevet.** Alle konsentrasjoner gitt i $\mu\text{g}/\text{m}^3$ som timemiddel.

| Punkt | x | y | 30 | 60 | 90 | 120 | 150 | 180 | 210 | 240 | 270 | 300 | 330 | 360 |
|-------|------|-----|-----|----|----|-----|-----|-----|-----|-----|-----|-----|-----|-----|
| 1 | 830 | 260 | 85 | 86 | 86 | 33 | 18 | 17 | 85 | 89 | 88 | 91 | 102 | 102 |
| 2 | 875 | 260 | 89 | 91 | 94 | 42 | 25 | 15 | 49 | 75 | 80 | 99 | 102 | 91 |
| 3 | 785 | 375 | 83 | 87 | 87 | 88 | 90 | 85 | 31 | 40 | 16 | 28 | 79 | 63 |
| 4 | 810 | 365 | 101 | 99 | 96 | 98 | 103 | 101 | 34 | 38 | 18 | 28 | 82 | 82 |
| 5 | 840 | 360 | 28 | 27 | 27 | 39 | 61 | 60 | 108 | 101 | 96 | 98 | 108 | 105 |
| 6 | 875 | 350 | 31 | 30 | 29 | 36 | 66 | 51 | 86 | 86 | 85 | 86 | 94 | 40 |
| 7 | 925 | 430 | 26 | 25 | 26 | 29 | 56 | 62 | 84 | 84 | 84 | 90 | 56 | 19 |
| 8 | 715 | 550 | 52 | 55 | 73 | 89 | 89 | 85 | 84 | 84 | 47 | 58 | 83 | 53 |
| 9 | 895 | 585 | 19 | 27 | 24 | 24 | 29 | 46 | 87 | 85 | 62 | 82 | 19 | 19 |
| 10 | 870 | 615 | 19 | 24 | 24 | 23 | 31 | 84 | 85 | 82 | 67 | 83 | 20 | 18 |
| 11 | 710 | 630 | 85 | 85 | 87 | 92 | 85 | 62 | 70 | 54 | 53 | 45 | 101 | 87 |
| 12 | 750 | 670 | 25 | 26 | 30 | 28 | 83 | 85 | 82 | 79 | 82 | 87 | 22 | 23 |
| 13 | 665 | 670 | 83 | 83 | 84 | 86 | 82 | 83 | 62 | 53 | 65 | 36 | 101 | 84 |
| 14 | 690 | 695 | 19 | 21 | 28 | 28 | 93 | 90 | 87 | 86 | 88 | 90 | 87 | 19 |
| 15 | 775 | 735 | 18 | 18 | 22 | 22 | 56 | 85 | 72 | 62 | 82 | 51 | 17 | 18 |
| 16 | 755 | 760 | 18 | 18 | 22 | 23 | 56 | 83 | 62 | 51 | 91 | 29 | 17 | 18 |
| 17 | 750 | 785 | 18 | 18 | 21 | 23 | 46 | 82 | 55 | 53 | 93 | 19 | 18 | 19 |
| 18 | 725 | 795 | 19 | 18 | 20 | 23 | 56 | 78 | 56 | 82 | 92 | 22 | 20 | 24 |
| 19 | 680 | 775 | 23 | 22 | 23 | 29 | 82 | 82 | 67 | 83 | 134 | 42 | 19 | 21 |
| 20 | 675 | 820 | 18 | 19 | 22 | 28 | 74 | 78 | 85 | 118 | 29 | 16 | 15 | 18 |
| 21 | 650 | 835 | 18 | 18 | 20 | 27 | 81 | 83 | 133 | 49 | 25 | 15 | 15 | 18 |
| 22 | 685 | 840 | 18 | 18 | 21 | 25 | 61 | 70 | 87 | 93 | 21 | 15 | 15 | 18 |
| 23 | 655 | 855 | 18 | 18 | 19 | 24 | 69 | 82 | 114 | 24 | 20 | 15 | 15 | 18 |
| 24 | 575 | 810 | 30 | 31 | 37 | 151 | 99 | 52 | 36 | 17 | 17 | 20 | 24 | 33 |
| 25 | 480 | 835 | 27 | 27 | 30 | 90 | 81 | 29 | 20 | 21 | 23 | 25 | 24 | 24 |
| 26 | 410 | 835 | 16 | 19 | 47 | 82 | 62 | 34 | 25 | 16 | 15 | 15 | 15 | 15 |
| 27 | 415 | 680 | 18 | 83 | 82 | 84 | 75 | 54 | 50 | 16 | 15 | 17 | 17 | 17 |
| 28 | 490 | 725 | 19 | 88 | 82 | 85 | 82 | 54 | 51 | 21 | 16 | 17 | 17 | 17 |
| 29 | 450 | 620 | 58 | 62 | 45 | 68 | 46 | 24 | 16 | 15 | 40 | 44 | 44 | 44 |
| 30 | 530 | 665 | 91 | 70 | 68 | 80 | 54 | 25 | 20 | 18 | 45 | 44 | 43 | 44 |
| 31 | 750 | 200 | 90 | 93 | 90 | 88 | 90 | 87 | 15 | 17 | 22 | 22 | 34 | 54 |
| 32 | 970 | 275 | 65 | 59 | 56 | 80 | 88 | 87 | 84 | 87 | 87 | 60 | 82 | 26 |
| 33 | 1000 | 170 | 68 | 69 | 61 | 61 | 62 | 21 | 15 | 47 | 57 | 82 | 89 | 63 |
| 34 | 1050 | 650 | 84 | 86 | 84 | 86 | 88 | 46 | 65 | 51 | 41 | 19 | 57 | 68 |
| 35 | 970 | 775 | 42 | 40 | 47 | 54 | 45 | 34 | 56 | 40 | 66 | 15 | 31 | 47 |
| 36 | 990 | 820 | 15 | 15 | 16 | 22 | 35 | 63 | 77 | 59 | 69 | 44 | 25 | 15 |
| 37 | 910 | 860 | 34 | 34 | 35 | 41 | 34 | 42 | 43 | 43 | 23 | 15 | 28 | 33 |
| 38 | 850 | 930 | 31 | 31 | 32 | 32 | 30 | 73 | 40 | 75 | 15 | 16 | 29 | 32 |

Tabell 5: Konsentrasjoner av NO_2 ved tunnelalternativet med en økning av trafikken på 25% på alle veglenkene i forhold til grunnalternativet. Se førøvrig tabellforklaring foran.

| Punkt | x | y | 30 | 60 | 90 | 120 | 150 | 180 | 210 | 240 | 270 | 300 | 330 | 360 |
|-------|------|-----|-----|-----------|-----|-----------|------------|-----------|------------|-----------|-----|-----------|------------|------------|
| 1 | 830 | 260 | 88 | 88 | 88 | 38 | 19 | 18 | 88 | 92 | 91 | 95 | 107 | 108 |
| 2 | 875 | 260 | 92 | 95 | 99 | 49 | 28 | 15 | 58 | 83 | 83 | 105 | 106 | 94 |
| 3 | 785 | 375 | 85 | 90 | 90 | 92 | 93 | 88 | 35 | 46 | 16 | 31 | 71 | 75 |
| 4 | 810 | 365 | 107 | 105 | 101 | 104 | 110 | 108 | 39 | 44 | 19 | 31 | 70 | 84 |
| 5 | 840 | 360 | 31 | 30 | 30 | 45 | 73 | 71 | 117 | 107 | 102 | 103 | 112 | 112 |
| 6 | 875 | 350 | 35 | 34 | 33 | 41 | 79 | 60 | 89 | 89 | 87 | 88 | 94 | 46 |
| 7 | 925 | 430 | 29 | 28 | 29 | 33 | 66 | 74 | 86 | 87 | 86 | 93 | 59 | 20 |
| 8 | 715 | 550 | 61 | 65 | 82 | 93 | 92 | 88 | 87 | 86 | 55 | 69 | 59 | 63 |
| 9 | 895 | 585 | 20 | 30 | 26 | 26 | 33 | 54 | 90 | 88 | 74 | 59 | 20 | 20 |
| 10 | 870 | 615 | 20 | 26 | 26 | 25 | 35 | 87 | 87 | 84 | 80 | 66 | 21 | 19 |
| 11 | 710 | 630 | 88 | 88 | 90 | 96 | 87 | 74 | 82 | 64 | 63 | 51 | 93 | 91 |
| 12 | 750 | 670 | 28 | 29 | 34 | 31 | 85 | 88 | 84 | 83 | 84 | 64 | 18 | 25 |
| 13 | 665 | 670 | 85 | 85 | 87 | 89 | 84 | 85 | 74 | 63 | 78 | 41 | 82 | 86 |
| 14 | 690 | 695 | 20 | 23 | 31 | 31 | 97 | 93 | 90 | 89 | 91 | 89 | 30 | 20 |
| 15 | 775 | 735 | 19 | 19 | 24 | 24 | 66 | 88 | 82 | 74 | 59 | 26 | 18 | 19 |
| 16 | 755 | 760 | 19 | 19 | 24 | 25 | 66 | 85 | 74 | 60 | 49 | 25 | 18 | 19 |
| 17 | 750 | 785 | 19 | 19 | 23 | 25 | 54 | 84 | 65 | 60 | 38 | 20 | 19 | 20 |
| 18 | 725 | 795 | 20 | 19 | 21 | 25 | 66 | 83 | 66 | 69 | 41 | 24 | 21 | 26 |
| 19 | 680 | 775 | 25 | 24 | 25 | 33 | 83 | 84 | 80 | 83 | 60 | 21 | 20 | 23 |
| 20 | 675 | 820 | 19 | 20 | 24 | 31 | 82 | 83 | 78 | 69 | 30 | 16 | 15 | 19 |
| 21 | 650 | 835 | 19 | 19 | 21 | 30 | 83 | 84 | 82 | 34 | 28 | 15 | 15 | 19 |
| 22 | 685 | 840 | 19 | 19 | 23 | 28 | 73 | 82 | 66 | 44 | 23 | 15 | 15 | 19 |
| 23 | 655 | 855 | 19 | 19 | 20 | 26 | 82 | 82 | 68 | 25 | 21 | 15 | 15 | 19 |
| 24 | 575 | 810 | 34 | 35 | 39 | 83 | 90 | 61 | 41 | 18 | 18 | 21 | 26 | 38 |
| 25 | 480 | 835 | 30 | 30 | 28 | 61 | 83 | 33 | 21 | 23 | 25 | 28 | 26 | 26 |
| 26 | 410 | 835 | 16 | 20 | 38 | 76 | 74 | 39 | 28 | 16 | 15 | 15 | 15 | 15 |
| 27 | 415 | 680 | 19 | 33 | 84 | 86 | 83 | 64 | 59 | 16 | 15 | 18 | 18 | 18 |
| 28 | 490 | 725 | 20 | 30 | 83 | 88 | 83 | 64 | 60 | 23 | 16 | 18 | 18 | 18 |
| 29 | 450 | 620 | 58 | 48 | 53 | 81 | 54 | 26 | 16 | 15 | 46 | 51 | 51 | 51 |
| 30 | 530 | 665 | 68 | 74 | 81 | 83 | 64 | 28 | 21 | 19 | 53 | 51 | 50 | 51 |
| 31 | 750 | 200 | 94 | 97 | 93 | 91 | 93 | 89 | 15 | 18 | 24 | 24 | 39 | 61 |
| 32 | 970 | 275 | 78 | 70 | 66 | 83 | 91 | 90 | 86 | 89 | 89 | 71 | 82 | 29 |
| 33 | 1000 | 170 | 81 | 82 | 73 | 73 | 74 | 23 | 15 | 55 | 68 | 84 | 89 | 75 |
| 34 | 1050 | 650 | 86 | 88 | 86 | 88 | 91 | 54 | 78 | 60 | 46 | 16 | 68 | 81 |
| 35 | 970 | 775 | 49 | 46 | 55 | 64 | 53 | 39 | 66 | 46 | 29 | 15 | 35 | 55 |
| 36 | 990 | 820 | 15 | 15 | 16 | 24 | 40 | 75 | 83 | 69 | 51 | 51 | 28 | 15 |
| 37 | 910 | 860 | 39 | 39 | 40 | 48 | 39 | 49 | 50 | 39 | 18 | 15 | 31 | 38 |
| 38 | 850 | 930 | 35 | 35 | 36 | 36 | 34 | 82 | 45 | 33 | 15 | 16 | 33 | 36 |

Tabell 6: Konsentrasjoner av NO_2 ved tunnelløsningen, men med trafikk langs gamle E6 redusert med 220 kjt/time og trafikk langts nye E6 økt med 220 kjt/time. Se forøvrig tabellforklaring foran.

| Punkt | x | y | 30 | 60 | 90 | 120 | 150 | 180 | 210 | 240 | 270 | 300 | 330 | 360 |
|-------|------|-----|-----|-----------|----|-----------|------------|------------|-----------|-----------|-----|-----------|------------|-----|
| 1 | 830 | 260 | 85 | 85 | 33 | 18 | 17 | 85 | 89 | 88 | 91 | 102 | 104 | |
| 2 | 875 | 260 | 88 | 91 | 94 | 42 | 25 | 15 | 49 | 75 | 80 | 100 | 101 | 91 |
| 3 | 785 | 375 | 84 | 88 | 88 | 90 | 91 | 86 | 31 | 40 | 16 | 28 | 62 | 66 |
| 4 | 810 | 365 | 104 | 101 | 98 | 101 | 106 | 104 | 34 | 38 | 18 | 28 | 62 | 82 |
| 5 | 840 | 360 | 25 | 25 | 38 | 61 | 61 | 112 | 104 | 99 | 100 | 109 | 108 | |
| 6 | 875 | 350 | 28 | 27 | 26 | 34 | 66 | 51 | 86 | 87 | 86 | 87 | 93 | 38 |
| 7 | 925 | 430 | 23 | 22 | 22 | 25 | 55 | 62 | 84 | 85 | 84 | 91 | 51 | 15 |
| 8 | 715 | 550 | 60 | 63 | 81 | 90 | 89 | 85 | 84 | 84 | 47 | 58 | 54 | 61 |
| 9 | 895 | 585 | 15 | 23 | 21 | 21 | 26 | 47 | 88 | 86 | 69 | 55 | 18 | 15 |
| 10 | 870 | 615 | 15 | 20 | 21 | 20 | 29 | 85 | 86 | 83 | 73 | 60 | 18 | 15 |
| 11 | 710 | 630 | 88 | 88 | 90 | 96 | 86 | 62 | 70 | 54 | 53 | 44 | 94 | 91 |
| 12 | 750 | 670 | 23 | 23 | 27 | 26 | 84 | 87 | 84 | 83 | 83 | 64 | 18 | 20 |
| 13 | 665 | 670 | 85 | 85 | 87 | 89 | 83 | 83 | 62 | 53 | 65 | 36 | 83 | 86 |
| 14 | 690 | 695 | 17 | 19 | 25 | 26 | 96 | 93 | 90 | 89 | 91 | 89 | 30 | 17 |
| 15 | 775 | 735 | 15 | 15 | 19 | 20 | 54 | 86 | 78 | 69 | 55 | 24 | 16 | 15 |
| 16 | 755 | 760 | 15 | 15 | 18 | 20 | 55 | 84 | 68 | 57 | 47 | 23 | 17 | 15 |
| 17 | 750 | 785 | 15 | 15 | 18 | 20 | 45 | 83 | 61 | 56 | 36 | 19 | 17 | 15 |
| 18 | 725 | 795 | 16 | 15 | 17 | 20 | 56 | 82 | 62 | 64 | 38 | 22 | 20 | 20 |
| 19 | 680 | 775 | 20 | 20 | 20 | 26 | 83 | 83 | 78 | 82 | 60 | 21 | 19 | 18 |
| 20 | 675 | 820 | 15 | 16 | 19 | 25 | 78 | 82 | 73 | 64 | 27 | 16 | 15 | 15 |
| 21 | 650 | 835 | 15 | 15 | 17 | 24 | 82 | 83 | 81 | 30 | 25 | 15 | 15 | 15 |
| 22 | 685 | 840 | 15 | 15 | 18 | 22 | 63 | 77 | 63 | 40 | 21 | 15 | 15 | 15 |
| 23 | 655 | 855 | 15 | 15 | 16 | 21 | 72 | 81 | 64 | 23 | 20 | 15 | 15 | 15 |
| 24 | 575 | 810 | 28 | 28 | 31 | 83 | 88 | 52 | 36 | 17 | 17 | 20 | 24 | 32 |
| 25 | 480 | 835 | 25 | 25 | 22 | 57 | 82 | 29 | 20 | 21 | 23 | 25 | 24 | 24 |
| 26 | 410 | 835 | 15 | 17 | 31 | 68 | 62 | 34 | 25 | 16 | 15 | 15 | 15 | 15 |
| 27 | 415 | 680 | 16 | 28 | 82 | 84 | 75 | 54 | 50 | 16 | 15 | 17 | 17 | 17 |
| 28 | 490 | 725 | 17 | 27 | 80 | 86 | 82 | 54 | 51 | 21 | 16 | 17 | 17 | 17 |
| 29 | 450 | 620 | 47 | 42 | 46 | 69 | 46 | 24 | 16 | 15 | 40 | 44 | 44 | 44 |
| 30 | 530 | 665 | 57 | 65 | 71 | 82 | 55 | 25 | 20 | 18 | 45 | 44 | 43 | 44 |
| 31 | 750 | 200 | 91 | 92 | 90 | 88 | 90 | 87 | 15 | 17 | 22 | 22 | 34 | 54 |
| 32 | 970 | 275 | 60 | 53 | 50 | 76 | 88 | 87 | 84 | 87 | 87 | 65 | 77 | 22 |
| 33 | 1000 | 170 | 59 | 64 | 61 | 61 | 62 | 21 | 15 | 47 | 57 | 82 | 87 | 58 |
| 34 | 1050 | 650 | 66 | 83 | 67 | 78 | 83 | 40 | 67 | 54 | 43 | 16 | 15 | 15 |
| 35 | 970 | 775 | 15 | 15 | 21 | 22 | 27 | 33 | 59 | 42 | 27 | 15 | 15 | 15 |
| 36 | 990 | 820 | 15 | 15 | 16 | 22 | 26 | 34 | 56 | 38 | 21 | 15 | 15 | 15 |
| 37 | 910 | 860 | 15 | 15 | 15 | 19 | 23 | 43 | 46 | 36 | 17 | 15 | 15 | 15 |
| 38 | 850 | 930 | 15 | 15 | 15 | 18 | 22 | 78 | 42 | 31 | 15 | 15 | 15 | 15 |

Tabell 7: Differanse mellom tunnelløsning og dagens løsning (Tabell 1-Tabell 2). Positiv verdi betyr at tunnelløsning gir høyest konsentrasjon. Høyeste positive og laveste negative verdi er uthevet.

| Punkt | x | y | 30 | 60 | 90 | 120 | 150 | 180 | 210 | 240 | 270 | 300 | 330 | 360 |
|-------|------|-----|------------|------------|------------|------------|------------|------------|------------|------------|------------|------------|------------|------------|
| 1 | 830 | 260 | -7 | -7 | -8 | -4 | 0 | 0 | 2 | 2 | 2 | -1 | 3 | 3 |
| 2 | 875 | 260 | -9 | -11 | -14 | -8 | -1 | 0 | 6 | 10 | 7 | -9 | -3 | -9 |
| 3 | 785 | 375 | 23 | 16 | 18 | 4 | 4 | 0 | -17 | -24 | -3 | 10 | 31 | 27 |
| 4 | 810 | 365 | 15 | 14 | 12 | 11 | 12 | 9 | -16 | -22 | -7 | 10 | 31 | 44 |
| 5 | 840 | 360 | -5 | -4 | -6 | -17 | -21 | -22 | 12 | 11 | 11 | 13 | 17 | 12 |
| 6 | 875 | 350 | -2 | -3 | -8 | -15 | -17 | -25 | -1 | 3 | 9 | 30 | 24 | -23 |
| 7 | 925 | 430 | -10 | -13 | -12 | -10 | 0 | 13 | 3 | 22 | 43 | 42 | -17 | -13 |
| 8 | 715 | 550 | 13 | 14 | 32 | 46 | 30 | 45 | 60 | 69 | 31 | 37 | 15 | 16 |
| 9 | 895 | 585 | -12 | -12 | -11 | -10 | -10 | 0 | -2 | 4 | -20 | -35 | -20 | -10 |
| 10 | 870 | 615 | -11 | -11 | -9 | -14 | -9 | -1 | -1 | -17 | -34 | -23 | -10 | |
| 11 | 710 | 630 | 41 | 41 | 40 | 50 | 26 | 26 | 51 | 39 | 30 | 5 | 61 | 45 |
| 12 | 750 | 670 | -40 | -39 | -40 | -33 | 23 | 36 | 62 | 64 | 56 | 12 | -15 | -45 |
| 13 | 665 | 670 | 40 | 40 | 37 | 46 | 27 | 55 | 43 | 33 | 34 | -22 | 32 | 47 |
| 14 | 690 | 695 | -32 | -29 | -28 | -19 | 36 | 58 | 70 | 68 | 55 | 21 | -2 | -23 |
| 15 | 775 | 735 | -9 | -10 | -10 | -9 | -33 | -4 | -12 | -22 | -38 | -64 | -5 | -8 |
| 16 | 755 | 760 | -9 | -10 | -9 | -9 | -33 | -5 | -22 | -33 | -46 | -63 | -3 | -9 |
| 17 | 750 | 785 | -10 | -10 | -10 | -9 | -37 | -2 | -21 | -31 | -51 | -14 | -2 | -9 |
| 18 | 725 | 795 | -9 | -9 | -10 | -9 | -33 | -10 | -28 | -29 | -52 | -17 | -1 | -9 |
| 19 | 680 | 775 | -45 | -56 | -59 | -53 | 26 | 52 | 50 | 17 | -22 | -27 | -34 | -46 |
| 20 | 675 | 820 | -9 | -8 | -8 | -55 | -15 | -5 | -21 | -28 | -2 | 0 | 0 | -8 |
| 21 | 650 | 835 | -9 | -8 | -8 | -54 | -4 | 13 | -12 | 0 | -1 | 0 | 0 | -7 |
| 22 | 685 | 840 | -10 | -10 | -9 | -11 | -27 | 4 | -25 | -11 | 0 | 0 | 0 | -10 |
| 23 | 655 | 855 | -10 | -9 | -8 | -14 | -15 | 15 | -25 | 0 | 1 | 0 | 0 | -9 |
| 24 | 575 | 810 | 1 | 2 | -21 | 15 | 2 | -34 | -1 | 0 | 0 | 1 | 4 | 10 |
| 25 | 480 | 835 | -4 | -6 | -11 | -17 | 14 | 4 | 0 | 1 | 1 | 2 | 2 | 2 |
| 26 | 410 | 835 | -3 | -7 | -9 | -8 | 9 | 5 | 2 | 0 | 0 | 0 | 0 | 0 |
| 27 | 415 | 680 | -6 | -25 | 9 | 14 | 7 | 8 | 3 | 0 | 0 | 0 | 0 | 0 |
| 28 | 490 | 725 | -6 | -22 | -9 | 17 | 11 | 7 | 3 | 1 | 0 | 1 | 1 | 1 |
| 29 | 450 | 620 | -8 | -2 | 9 | 23 | 7 | 9 | 1 | 0 | 2 | 3 | 3 | 2 |
| 30 | 530 | 665 | -31 | 23 | 27 | 44 | 11 | 5 | 5 | 1 | 3 | 3 | 3 | 1 |
| 31 | 750 | 200 | 3 | 0 | 1 | 2 | 3 | 2 | 0 | 0 | 0 | -6 | -3 | -1 |
| 32 | 970 | 275 | -17 | -18 | -17 | -5 | -7 | -6 | -6 | -6 | -5 | 28 | 27 | -8 |
| 33 | 1000 | 170 | -18 | -15 | -13 | -13 | -14 | -1 | 0 | 3 | 3 | -1 | 1 | -21 |
| 34 | 1050 | 650 | -10 | -9 | -10 | -13 | -15 | -27 | 8 | 19 | 5 | -4 | -34 | -27 |
| 35 | 970 | 775 | -43 | -45 | -38 | -34 | -38 | -6 | 12 | 13 | -13 | 0 | -44 | -40 |
| 36 | 990 | 820 | 0 | 0 | 0 | -28 | -26 | -10 | -27 | -41 | -42 | -28 | 0 | |
| 37 | 910 | 860 | -48 | -48 | -47 | -43 | -32 | -3 | 9 | -1 | -1 | -2 | -36 | -49 |
| 38 | 850 | 930 | -46 | -46 | -46 | -40 | -21 | 11 | 11 | -11 | 0 | -4 | -41 | -49 |

Tabell 8: Differanse mellom tunnelløsning og forkortet overbygg (Tabell 3-Tabell 1). Positiv verdi betyr at kortest overbygg gir høyest konsentrasjon. Størst differanser for hvert punkt er uthevet. Negative verdier skyldes avrundingsunøyaktigheter.

| Punkt | x | y | 30 | 60 | 90 | 120 | 150 | 180 | 210 | 240 | 270 | 300 | 330 | 360 |
|-------|------|-----|----|----|----|-----|------|-----|-----|-----|-----|------|-----|-----|
| 1 | 830 | 260 | 0 | 0 | 0 | 0 | 0 | 0 | 0 | 0 | 0 | 0 | 0 | 0 |
| 2 | 875 | 260 | 0 | 0 | 0 | 0 | 0 | 0 | 0 | 0 | 0 | 0 | 0 | 0 |
| 3 | 785 | 375 | 0 | 0 | 0 | 0 | 0 | 0 | 0 | 0 | 0 | 0 | 1 | 0 |
| 4 | 810 | 365 | 0 | 0 | 0 | 0 | 0 | 0 | 0 | 0 | 0 | 0 | 1 | 0 |
| 5 | 840 | 360 | 0 | 0 | 0 | 0 | 0 | 0 | 0 | 0 | 0 | 0 | 0,1 | 0 |
| 6 | 875 | 350 | 0 | 0 | 0 | 0 | 0 | 0 | 0 | 0 | 0 | 0 | 0,1 | 0 |
| 7 | 925 | 430 | 0 | 0 | 0 | 0 | 0 | 0 | 0 | 0 | 0 | 0 | 1 | 0 |
| 8 | 715 | 550 | 0 | 0 | 0 | 0 | 0 | 0 | 0 | 0 | 0 | 0 | 1 | 0 |
| 9 | 895 | 585 | 0 | 0 | 0 | 0 | 0 | 0 | 0 | 0 | 0 | 1 | 0 | 0 |
| 10 | 870 | 615 | 0 | 0 | 0 | 0 | 0 | 0 | 0 | 0 | 0 | 1 | 0 | 0 |
| 11 | 710 | 630 | 0 | 0 | 0 | 0 | 0 | 0 | 0 | 0 | 0 | 0 | 0,4 | 0 |
| 12 | 750 | 670 | 0 | 0 | 0 | 0 | 0 | 0 | 0 | 0 | 0 | 0 | 1 | 0 |
| 13 | 665 | 670 | 0 | 0 | 0 | 0 | 0 | 0 | 0 | 0 | 0 | 0 | 3 | 0 |
| 14 | 690 | 695 | 0 | 0 | 0 | 0 | 0 | 0 | 0 | 0 | 0 | -0,1 | 6 | 0 |
| 15 | 775 | 735 | 0 | 0 | 0 | 0 | 0 | 0 | 0 | 0 | 0 | 2 | 0 | 0 |
| 16 | 755 | 760 | 0 | 0 | 0 | 0 | 0 | 0 | 0 | 0 | 1 | 2 | 0 | 0 |
| 17 | 750 | 785 | 0 | 0 | 0 | 0 | 0 | 0 | 0 | 0 | 4 | 0 | 0 | 0 |
| 18 | 725 | 795 | 0 | 0 | 0 | 0 | 0 | 0 | 0 | 0 | 8 | 0 | 0 | 0 |
| 19 | 680 | 775 | 0 | 0 | 0 | 0 | 0 | 0 | 0 | 0 | 4 | 10 | 0 | 0 |
| 20 | 675 | 820 | 0 | 0 | 0 | 0 | 0 | 0 | 1 | 9 | 6 | 0 | 0 | 0 |
| 21 | 650 | 835 | 0 | 0 | 0 | 0 | 0 | 0,1 | 7 | 18 | 0 | 0 | 0 | 0 |
| 22 | 685 | 840 | 0 | 0 | 0 | 0 | 0 | 0 | 1 | 12 | 0 | 0 | 0 | 0 |
| 23 | 655 | 855 | 0 | 0 | 0 | 0 | 0 | 0 | 11 | 3 | 0 | 0 | 0 | 0 |
| 24 | 575 | 810 | 0 | 0 | 30 | 2,7 | -0,3 | 0 | 0 | 0 | 0 | 0 | 0 | 0 |
| 25 | 480 | 835 | 0 | 0 | 1 | 0 | 0 | 0 | 0 | 0 | 0 | 0 | 0 | 0 |
| 26 | 410 | 835 | 0 | 0 | 2 | 0 | 0 | 0 | 0 | 0 | 0 | 0 | 0 | 0 |
| 27 | 415 | 680 | 0 | 2 | 0 | 0 | 0 | 0 | 0 | 0 | 0 | 0 | 0 | 0 |
| 28 | 490 | 725 | 0 | 5 | 0 | 0 | 0 | 0 | 0 | 0 | 0 | 0 | 0 | 0 |
| 29 | 450 | 620 | 0 | 0 | 0 | 0 | 0 | 0 | 0 | 0 | 0 | 0 | 0 | 0 |
| 30 | 530 | 665 | 5 | 0 | 0 | 0 | 0 | 0 | 0 | 0 | 0 | 0 | 0 | 0 |
| 31 | 750 | 200 | 0 | 0 | 0 | 0 | 0 | 0 | 0 | 0 | 0 | 0 | 0 | 1 |
| 32 | 970 | 275 | 0 | 0 | 0 | 0 | 0 | 0 | 0 | 0 | 0 | 0 | 1 | 0 |
| 33 | 1000 | 170 | 0 | 0 | 0 | 0 | 0 | 0 | 0 | 0 | 0 | 0 | 0,1 | 0 |
| 34 | 1050 | 650 | 0 | 0 | 0 | 0 | 0 | 0 | 0 | 0 | 0 | 0 | 0 | 0 |
| 35 | 970 | 775 | 0 | 0 | 0 | 0 | 0 | 0 | 0 | 0 | 1 | 0 | 0 | 0 |
| 36 | 990 | 820 | 0 | 0 | 0 | 0 | 0 | 0 | 0 | 0 | 1 | 0 | 0 | 0 |
| 37 | 910 | 860 | 0 | 0 | 0 | 0 | 0 | 0 | 0 | 0 | 1 | 0 | 0 | 0 |
| 38 | 850 | 930 | 0 | 0 | 0 | 0 | 0 | 0 | 0 | 0 | 2 | 0 | 0 | 0 |

Tabell 9: Differanse mellom utslipp fra tunnel gjennom søndre munning og vanlig ventilasjonsretning (Tabell 4-Tabell 1). Differansen viser tilleggsbelastning fra tunnelutslipp med maksimaltrafikk. Høyeste tillegg i hvert punkt er uthevet.

| Punkt | x | y | 30 | 60 | 90 | 120 | 150 | 180 | 210 | 240 | 270 | 300 | 330 | 360 |
|-------|------|-----|------|------|-----|------|------|-----|------|------|------|------|------|-----|
| 1 | 830 | 260 | 0 | 0 | 0 | 0 | 0 | 0 | 0 | 0 | 0 | 0 | 1,2 | 0 |
| 2 | 875 | 260 | 0 | 0 | 0 | 0 | 0 | 0 | 0 | 0 | 0 | 0 | 2,4 | 0 |
| 3 | 785 | 375 | 0 | 0 | 0 | 0 | 0 | 0 | 0 | 0 | 0 | 0 | 19 | 0 |
| 4 | 810 | 365 | 0 | 0 | 0 | 0 | 0 | 0 | 0 | 0 | 0 | 0 | 23,1 | 0 |
| 5 | 840 | 360 | 0 | 0 | 0 | 0 | 0 | 0 | 0 | 0 | 0 | 0 | 3,3 | 0 |
| 6 | 875 | 350 | 0 | 0 | 0 | 0 | 0 | 0 | 0 | 0 | 0 | 0 | 3,3 | 0 |
| 7 | 925 | 430 | 0 | 0 | 0 | 0 | 0 | 0 | 0 | 0 | 0 | 0,1 | 6 | 0 |
| 8 | 715 | 550 | 0 | 0 | 0 | 0 | 0 | 0 | 0 | 0 | 0 | 0 | 33,2 | 0 |
| 9 | 895 | 585 | 0 | 0 | 0 | 0 | 0 | 0 | 0 | 0 | 0 | 32 | 0 | 0 |
| 10 | 870 | 615 | 0 | 0 | 0 | 0 | 0 | 0 | 0 | 0 | 0 | 27,4 | 0 | 0 |
| 11 | 710 | 630 | 0 | 0 | 0 | 0 | 0 | 0 | 0 | 0 | 0 | 1 | 11,3 | 0 |
| 12 | 750 | 670 | 0 | 0 | 0 | 0 | 0 | 0 | 0 | 0 | 0 | 32,5 | 5 | 0 |
| 13 | 665 | 670 | 0 | 0 | 0 | 0 | 0 | 0 | 0 | 0 | 0 | 0 | 27,3 | 0,4 |
| 14 | 690 | 695 | 0 | 0 | 0 | 0 | 0 | 0 | 0 | 0 | 0 | 4,2 | 59,8 | 0 |
| 15 | 775 | 735 | 0 | 0 | 0 | 0 | 0 | 0 | 0 | 0 | 31,8 | 27 | 0 | 0 |
| 16 | 755 | 760 | 0 | 0 | 0 | 0 | 0 | 0 | 0 | 0 | 48,6 | 6 | 0 | 0 |
| 17 | 750 | 785 | 0 | 0 | 0 | 0 | 0 | 0 | 0 | 2 | 60 | 0 | 0 | 0 |
| 18 | 725 | 795 | 0 | 0 | 0 | 0 | 0 | 0 | 0 | 24,3 | 56 | 0 | 0 | 0 |
| 19 | 680 | 775 | 0 | 0 | 0 | 0 | 0 | 0 | 0 | 7 | 82,5 | 22 | 0 | 0 |
| 20 | 675 | 820 | 0 | 0 | 0 | 0 | 0 | 0 | 19,9 | 60,3 | 2 | 0 | 0 | 0 |
| 21 | 650 | 835 | 0 | 0 | 0 | 0 | 0 | 0,8 | 62,4 | 19 | 0 | 0 | 0 | 0 |
| 22 | 685 | 840 | 0 | 0 | 0 | 0 | 0 | 0 | 30,5 | 55,1 | 0 | 0 | 0 | 0 |
| 23 | 655 | 855 | 0 | 0 | 0 | 0 | 0 | 7,7 | 57,1 | 1 | 0 | 0 | 0 | 0 |
| 24 | 575 | 810 | 0 | 0 | 3 | 68,8 | 12,3 | 0 | 0 | 0 | 0 | 0 | 0 | 0 |
| 25 | 480 | 835 | 0 | 0 | 5 | 38,1 | 0 | 0 | 0 | 0 | 0 | 0 | 0 | 0 |
| 26 | 410 | 835 | 0 | 0 | 14 | 17,8 | 0 | 0 | 0 | 0 | 0 | 0 | 0 | 0 |
| 27 | 415 | 680 | 0 | 53,8 | 0,1 | 0 | 0 | 0 | 0 | 0 | 0 | 0 | 0 | 0 |
| 28 | 490 | 725 | 0 | 61,4 | 5,2 | 0 | 0 | 0 | 0 | 0 | 0 | 0 | 0 | 0 |
| 29 | 450 | 620 | 9 | 21 | 0 | 0 | 0 | 0 | 0 | 0 | 0 | 0 | 0 | 0 |
| 30 | 530 | 665 | 33,7 | 8 | 0 | 0 | 0 | 0 | 0 | 0 | 0 | 0 | 0 | 0 |
| 31 | 750 | 200 | 0 | 0 | 0 | 0 | 0 | 0 | 0 | 0 | 0 | 0 | 0 | 2 |
| 32 | 970 | 275 | 0 | 0 | 0 | 0 | 0 | 0 | 0 | 0 | 0 | 0 | 13,1 | 0 |
| 33 | 1000 | 170 | 0 | 0 | 0 | 0 | 0 | 0 | 0 | 0 | 0 | 0 | 2,2 | 0 |
| 34 | 1050 | 650 | 0 | 0 | 0 | 0 | 0 | 0 | 0 | 0 | 1 | 3 | 0 | 0 |
| 35 | 970 | 775 | 0 | 0 | 0 | 0 | 0 | 0 | 0 | 0 | 40 | 0 | 0 | 0 |
| 36 | 990 | 820 | 0 | 0 | 0 | 0 | 0 | 0 | 0 | 1 | 25 | 0 | 0 | 0 |
| 37 | 910 | 860 | 0 | 0 | 0 | 0 | 0 | 0 | 0 | 9 | 6 | 0 | 0 | 0 |
| 38 | 850 | 930 | 0 | 0 | 0 | 0 | 0 | 0 | 1 | 46 | 0 | 0 | 0 | 0 |

Tabell 10: Differanse mellom tunnelløsning med flytting av trafikk fra gamle E6 og grunnalternativet (Tabell 6-Tabell 1). Positiv verdi betyr at flyttingen gir høyere konsentrasjon, negativ verdi betyr at flyttingen medfører redusert konsentrasjon. Høyeste positive og laveste negative tall er uthevet.

| Punkt | x | y | 30 | 60 | 90 | 120 | 150 | 180 | 210 | 240 | 270 | 300 | 330 | 360 |
|-------|------|-----|-------|------|-------|------|------|-----|-----|-----|-----|-----|-----|-----|
| 1 | 830 | 260 | -0,3 | -0,3 | -0,3 | 0 | 0 | 0 | 0 | 0 | 0 | 0 | 1,5 | 2 |
| 2 | 875 | 260 | -0,3 | -0,4 | -0,3 | 0 | 0 | 0 | 0 | 0 | 0 | 0,7 | 1,3 | 0 |
| 3 | 785 | 375 | 0,7 | 1,3 | 1,2 | 1,3 | 1,4 | 0,1 | 0 | 0 | 0 | 0 | 2 | 3 |
| 4 | 810 | 365 | 3 | 2,8 | 2,5 | 2,6 | 3,2 | 2,2 | 0 | 0 | 0 | 0 | 3 | 0,6 |
| 5 | 840 | 360 | -3 | -2 | -2 | -1 | 0 | 1 | 3,3 | 3,3 | 2,9 | 2,9 | 3,9 | 3,6 |
| 6 | 875 | 350 | -3 | -3 | -3 | -2 | 0 | 0 | 0,1 | 1,2 | 1,2 | 1,2 | 2,2 | -2 |
| 7 | 925 | 430 | -3 | -3 | -4 | -4 | -1 | 0 | 0,1 | 0,8 | 0,8 | 1,2 | 1 | -4 |
| 8 | 715 | 550 | 8 | 8 | 8 | 0,5 | 0,4 | 0 | 0 | 0 | 0 | 0 | 4 | 8 |
| 9 | 895 | 585 | -4 | -4 | -3 | -3 | -3 | 1 | 0,9 | 0,7 | 7 | 5 | -1 | -4 |
| 10 | 870 | 615 | -4 | -4 | -3 | -3 | -2 | 0,4 | 0,8 | 0,7 | 6 | 4 | -2 | -3 |
| 11 | 710 | 630 | 2,7 | 2,8 | 3,2 | 4,4 | 0,9 | 0 | 0 | 0 | 0 | 0 | 4,4 | 3,5 |
| 12 | 750 | 670 | -2 | -3 | -3 | -2 | 0,8 | 1,5 | 1,3 | 3,6 | 1,3 | 10 | 1 | -3 |
| 13 | 665 | 670 | 2,1 | 2,1 | 2,3 | 2,7 | 0,4 | 0 | 0 | 0 | 0 | 0 | 8,7 | 2,4 |
| 14 | 690 | 695 | -2 | -2 | -3 | -2 | 3,8 | 3,3 | 2,7 | 2,8 | 3 | 3,3 | 3 | -2 |
| 15 | 775 | 735 | -3 | -3 | -3 | -2 | -2 | 0,9 | 6 | 7 | 5 | 0 | -1 | -3 |
| 16 | 755 | 760 | -3 | -3 | -4 | -3 | -1 | 0,7 | 6 | 6 | 5 | 0 | 0 | -3 |
| 17 | 750 | 785 | -3 | -3 | -3 | -3 | -1 | 0,6 | 6 | 5 | 3 | 0 | -1 | -4 |
| 18 | 725 | 795 | -3 | -3 | -3 | -3 | 0 | 4 | 6 | 6 | 2 | 0 | 0 | -4 |
| 19 | 680 | 775 | -3 | -2 | -3 | -3 | 0,8 | 1,1 | 11 | 6,1 | 9 | 1 | 0 | -3 |
| 20 | 675 | 820 | -3 | -3 | -3 | -3 | 4 | 4,1 | 8 | 6 | 0 | 0 | 0 | -3 |
| 21 | 650 | 835 | -3 | -3 | -3 | -3 | 1,2 | 0,9 | 10 | 0 | 0 | 0 | 0 | -3 |
| 22 | 685 | 840 | -3 | -3 | -3 | -3 | 2 | 7 | 7 | 2 | 0 | 0 | 0 | -3 |
| 23 | 655 | 855 | -3 | -3 | -3 | -3 | 3 | 7 | 7 | 0 | 0 | 0 | 0 | -3 |
| 24 | 575 | 810 | -2 | -3 | -3 | 1,1 | 1,5 | 0 | 0 | 0 | 0 | 0 | 0 | -1 |
| 25 | 480 | 835 | -2 | -2 | -3 | 5 | 0,7 | 0 | 0 | 0 | 0 | 0 | 0 | 0 |
| 26 | 410 | 835 | -1 | -2 | -2 | 4 | 0 | 0 | 0 | 0 | 0 | 0 | 0 | 0 |
| 27 | 415 | 680 | -2 | -1 | 0,2 | 0,1 | 0 | 0 | 0 | 0 | 0 | 0 | 0 | 0 |
| 28 | 490 | 725 | -2 | 0 | 3 | 0,3 | 0,1 | 0 | 0 | 0 | 0 | 0 | 0 | 0 |
| 29 | 450 | 620 | -2 | 1 | 1 | 1 | 0 | 0 | 0 | 0 | 0 | 0 | 0 | 0 |
| 30 | 530 | 665 | 0 | 3 | 3 | 1,7 | 1 | 0 | 0 | 0 | 0 | 0 | 0 | 0 |
| 31 | 750 | 200 | 0,7 | -0,3 | -0,1 | 0 | 0 | 0 | 0 | 0 | 0 | 0 | 0 | 2 |
| 32 | 970 | 275 | -5 | -6 | -6 | -4 | -0,1 | 0 | 0 | 0 | 0,1 | 5 | 8 | -4 |
| 33 | 1000 | 170 | -9 | -5 | 0 | 0 | 0 | 0 | 0 | 0 | 0 | 0,1 | 0,9 | -5 |
| 34 | 1050 | 650 | -17,8 | -3,2 | -16,5 | -7,5 | -4,8 | -6 | 2 | 3 | 3 | 0 | -42 | -53 |
| 35 | 970 | 775 | -27 | -25 | -26 | -32 | -18 | -1 | 3 | 2 | 1 | 0 | -16 | -32 |
| 36 | 990 | 820 | 0 | 0 | 0 | 0 | -9 | -29 | -21 | -20 | -23 | -29 | -10 | 0 |
| 37 | 910 | 860 | -19 | -19 | -20 | -22 | -11 | 1 | 3 | 2 | 0 | 0 | -13 | -18 |
| 38 | 850 | 930 | -16 | -16 | -17 | -14 | -8 | 5 | 3 | 2 | 0 | -1 | -14 | -17 |

6. Hyppighet av forekomst av beregnede konsentrasjoner

Konsentrasjonene av NO₂ som er beregnet og vist i Tabell 1 til Tabell 6 forutsetter utslipp fra maksimal timetrafikk og vindstyrke på rundt 1 m/s.

Maksimal timetrafikk forekommer for 2 timer i døgnet. I ytterligere 7 timer ligger timetrafikken på 70-80% av maksimalnivået. Beregningene er representative for vindstyrker som forekommer i ca. 35% av tiden i vinterhalvåret uavhengig av vindretning (vindstyrke fra 0,8 m/s til 1,2 m/s). For de aktuelle vindstyrkene er de to oftest forekommende vindretningene vind fra 90° (4,6%) og 60° (6,3%).

Vurdert på bakgrunn av målingene til DNMI, vil det i 20% av tiden (uavhengig av vindretningen) være dårligere spredningsforhold enn i beregningssituasjonen. Timemiddelkonsentrasjonene av NO₂ i de mest belastede punktene for den mest ugunstige vindretningen og meget svak vindstyrke kan da bli ca. 165 µg/m³ i forhold til ca. 110 µg/m³ som vist i beregningsresultatene. Bidraget fra veiene i beregningen blir 2,5 ganger større, og bakgrunnskonsentrasjonen blir uendret. Faktoren 2,5 er hentet fra det nasjonale beregningsprogrammet for veiforurensning (VLUFT).

De hyppigst forekommende vindretningene for svak vind (under 1 m/s) er 60°, 90° og 330°, hver med ca. 4% forekomst. Maksimalbelastningen fra beregnings-situasjonen for disse vindretningene er litt over 100 µg/m³, og kan for svakere vindstyrker da bli ca. 135 µg/m³. For beregningspunkter ved bolig er de beregnede maksimalkonsentrasjonen opptil 93 µg/m³, og vil for svakere vindstyrker kunne bli litt over 110 µg/m³.

Samlet maksimal forekomst av kombinasjonen av mest ugunstige spredningsforhold og maksimal trafikk for en enkelt vindretning er 0,33%, dvs. ca. 10 timer i vinterperioden. Dette kan inntrefte for vind fra 60°, 90° og 330°. Beregningen av hyppighet forutsetter at vind i disse retningene er jevnt fordelt over døgnet.

For svevestøy vil utslippsmengden også variere betraktelig med nedbør og luftfuktighet. Nivået av de høyeste døgnmiddelverdiene av svevestøy er anslått fra luftkvalitetsmålingene. Målingene viste at 7 (4,5%) av døgnene i måleperioden hadde døgnmiddelverdi på over 50 µg/m³. Forholdet mellom døgnkonsentrasjoner av NO₂ og PM₁₀ varierer betydelig for disse døgnene. Høyeste forhold mellom PM₁₀ og NO₂ var på 5,6 og laveste på 3,5. Denne variasjonen er grunnlag for å gi et anslag for forekomst av høy svevestøyforurensning i et vinterhalvår.

Tabell 11 viser hvilket konsentrasjonsområde av svevestøy som kan forekomme i 4,5% av tiden (7 døgn) i vinterhalvåret for hovedvindretningene 60°, 90° og 240° ut fra et beregnet nivå av NO₂-konsentrasjonen. Det er regnet om fra time til døgn, og så fra NO₂ til PM₁₀. For de øvrige vindretningene vil konsentrasjonsnivået av PM₁₀ bli vesentlig lavere, avhengig av forekomsten av vind fra retningen.

Tabell 11: Døgnmiddelkonsentrasjon av svevestøy med forekomst 4,5% av tiden i vinterhalvåret for forskjellige nivåer av beregnet timekonsentrasjon av NO₂. Enhet: µg/m³.

| NO ₂ -konsentrasjon | Høyeste PM ₁₀ | 7 høyeste PM ₁₀ |
|--------------------------------|--------------------------|----------------------------|
| 90 | 146 | 91 |
| 80 | 130 | 81 |
| 70 | 114 | 71 |
| 60 | 97 | 61 |

I hele området vil døgnmiddelkonsentrasjoner av svevestøy over luftkvalitetskriteriet på 35 µg/m³ kunne forekomme for alle de beregnede alternative veiløsningene.

7. Referanser

- DNMI (1998) Lokalklimagranskning i samband med ny E6 gjennom Steinkjer. Oslo (DNMI-rapport nr. 22/98).
- Hagen, L. O. (1998) Målinger av luftkvalitet i Steinkjer i forbindelse med planer for ny E6. November 1997- april 1998. Kjeller(NILU OR 30/98).
- Statens forurensningstilsyn (1998) Veiledning til forskrift om grenseverdier for lokal luftforurensning og støy. Oslo (SFT-rapport nr. 98:03).
- Torp, C., Tønnesen, D. og Larssen, S. (1995) Brukerveiledning for VLUFT Versjon 3.1. Kjeller (NILU TR 4/95).

Vedlegg A

Anbefalte luftkvalitetskriterier og helseeffekter av nitrogendioksid og svevestøv

Anbefalte luftkvalitetskriterier og helseeffekter av nitrogendioksid og svevestøv

Helseeffekter av nitrogendioksid og svevestøv

(SFT, 1992)

Nitrogendioksid (NO_2) kan medføre helseeffekter i konsentrasjoner som kan forekomme i forurensset uteluft. Kunnskaper om virkninger av NO_2 foreligger bl.a. fra akutte forgiftningstilfeller som følge av ulykker i yrkeslivet. Disse har i verste fall hatt dødelig utgang. I forbindelse med forurensset uteluft vil de mulige helseskadene som følge av at befolkningen kontinuerlig eller periodevis gjennom lengre tid utsettes for NO_2 -konsentrasjoner i luften opp til 2 000 $\mu\text{g}/\text{m}^3$ først og fremst være av interesse. Opp mot dette konsentrasjonsnivået er sammenhengen mellom konsentrasjon og effekt uklar og grunnlagsmaterialet for å fastsette laveste observerbare skadeeffekt-nivå er begrenset.

Dyreforsøk har gitt verdifulle opplysninger om virkningsmekanismene. Således finner man ved kortvarig eksponering for NO_2 -konsentrasjoner på 3 700 $\mu\text{g}/\text{m}^3$ eller mer økt mottagelighet for infeksjoner og morfologiske forandringer. Etter lengre eksponering for 190 $\mu\text{g}/\text{m}^3$ eller mer og eventuelt tidvis eksponering for toppkonsentrasjoner ti ganger høyere, finner man morfologiske forandringer og økt mottagelighet for infeksjoner. Ikke bare påvirkes lungenes forsvarsceller (makrofagene i lungeblærerne), men også hvite blodlegemer som er en del av immunforsvaret (fra 470 $\mu\text{g}/\text{m}^3$ og høyere).

Undersøkelser av effekten av NO_2 på mennesker i kontrollerte forsøk viser store variasjoner mellom forsøkspersoner. I lungefunktionsprøver viser det seg at astmatikere er den mest følsomme gruppen. I sammenligninger mellom grupper av forsøkspersoner har man funnet signifikante effekter på lungefunktion etter eksponering for 460 $\mu\text{g}/\text{m}^3$ eller mer i 20 minutter lengre.

Epidemiologiske undersøkelser er blitt foretatt på befolkningsgrupper i forurensede områder, og i nyere studier har man også sammenlignet grupper eksponert for ulike NO_2 -konsentrasjoner innendørs. De få epidemiologiske data som foreligger tyder på at NO_2 fra 110-150 $\mu\text{g}/\text{m}^3$ kan føre til økt antall tilfeller av luftveissykdommer hos barn. Dessuten har man ved eksponering for 200 $\mu\text{g}/\text{m}^3$ NO_2 , sammen med andre forurensningskomponenter, funnet økt forekomst av lungesykdommer og nedsatt lungefunktion hos barn og voksne.

Svevestøv (PM_{10}). Forbrenning av fossilt brennstoff er den vesentligste kilden til inhalerbare partikler (partikler med diameter <10 μm , også kalt PM_{10}) i luft i tettsteder i Norden. De viktigste kildegruppene er forbrenning av bensin og diesel i bilmotorer, samt olje og ved i større og mindre stasjonære forbrenningsenheter. Kull og koks kan være en kilde av betydning enkelte steder.

Utslipp fra industriprosesser kan være viktige partikkelkilder i en del byer og tettsteder.

Veistøv er en vesentlig partikkelkilde om vinteren i områder med utstrakt bruk av piggdekk. I tørre perioder med oppvirving av tørt støv fra veistøvdepotet, dominerer veistøvet grovfraksjonen av inhalerbart støv (partikler med diameter 2,5-10 µm), men gir også et vesentlig bidrag til finfraksjonen (diameter <2,5 µm).

Helsemessige konsekvenser i luft skyldes både mengden og partiklenes kjemiske sammensetning.

Fra forbrenning av fossilt brennstoff fås i hovedsak karbonholdige partikler, dels organiske karbon (helt eller delvis uforbrent brennstoff) og dels uorganisk (elementært) karbon. Uorganiske karbonpartikler består for størstedelen av karbon i gitterstruktur med stor lysabsorberende evne. De fremstår som svarte partikler, "sot"-partikler. Polysykliske organiske materiale (POM) er i noen grad absorbert på sotpartiklene, men POM er hovedsakelig en bestanddel i den organiske karbonfraksjonen. Polysykliske aromatiske hydrokarboner (PAH) er en stoffgruppe i den organiske materiale som det knytter seg spesiell interesse til, fordi endel PAH-forbindelser er klassifisert som karsinogene. Eksempler på slike stoffer er bens(a)pyren og nitropyren. Mutagenitetsanalyse ved hjelp av spesielle bakteriestammer (f.eks. "Ames test") er i dag den mest benyttede metode for å indikere partiklers mutagenitet og karsinogenitet.

Bly i bensineksos og sulfat i avgasser fra motordiesel- og oljeforbrenning er eksempler på andre sporstoffer i partikler fra forbrenning av fossilt brensel som kan ha helsemessig betydning. Innholdet av bly og svovel i brennstoff er blitt vesentlig redusert i det siste tiåret, og bly i bensin vil i Norden praktisk talt være borte i løpet av 5-10 år.

Veidekker av asfalt består til ca. 95% av steinmateriale. Noen steder (ikke i Oslo) kan α-kvarts være en vesentlig bestanddel av steinmateriale, og dette kan utgjøre en viss helserisiko. De resterende 5% er bitumen, tungløselig organisk materiale, med innhold bl.a. av PAH-stoffer. Veistøv vil for øvrig bestå av partikler fra den lokale geologi, samt alt slags materiale som er inntransportert med og deponert fra kjøretøy.

I Norge slites anslagsvis 250 000 tonn fra asfaltveidekket hvert år. Bare en liten del av dette er inhalerbare partikler. Størrelsesfraksjonen av støv tatt fra veier i Oslo ga at bare 0,1% av massen var inhalerbare partikler, dvs. 250 tonn på landsbasis. Til sammenligning utgjør eksospartikkelslippet fra veitrafikken i Norge anslagsvis 1 800 tonn i piggdekkssesongen.

I tørre perioder i piggdekkssesongen er imidlertid veistøvbidraget mye større enn i gjennomsnitt. Ved våt vei og utenom piggdekkssesongen (etter godt veirenhold) er mengden av veistøv vesentlig mindre enn eksospartikkelslippet. Ved lavere kjørehastighet og tungtrafikkandel avtar veistøvslitasjen og oppvirving vesentlig,

sannsynligvis med kvadratet av hastigheten og nær proporsjonalt med tungtrafikkandelen, idet de store kjøretøyene står for det meste av oppvirvingen.

Veistøvets innhold av bly, PAH og mutagenitet har i gjennomsnitt liten betydning i forhold til eksosutslippen. Ved tørr vei vil veistøvet dog føre til en viss økning i bly- og PAH-konsentrasjonen i luften, men mutageniteten fra veistøvet er helt uten betydning. Dersom steinmaterialet i asfalten inneholder α -kvarts, kan dette innebære en helserisiko.

I tillegg kommer også tilførselen av partikler til tettstedet fra kilder utenfor (bakgrunnsforerensning). Denne varierer mye, avhengig av område og tid. Generelt er den større jo nærmere en kommer Kontinentet. I Norden er den størst i Sør-Sverige og Danmark.

Anbefalte luftkvalitetskriterier er gitt i tabell A1.

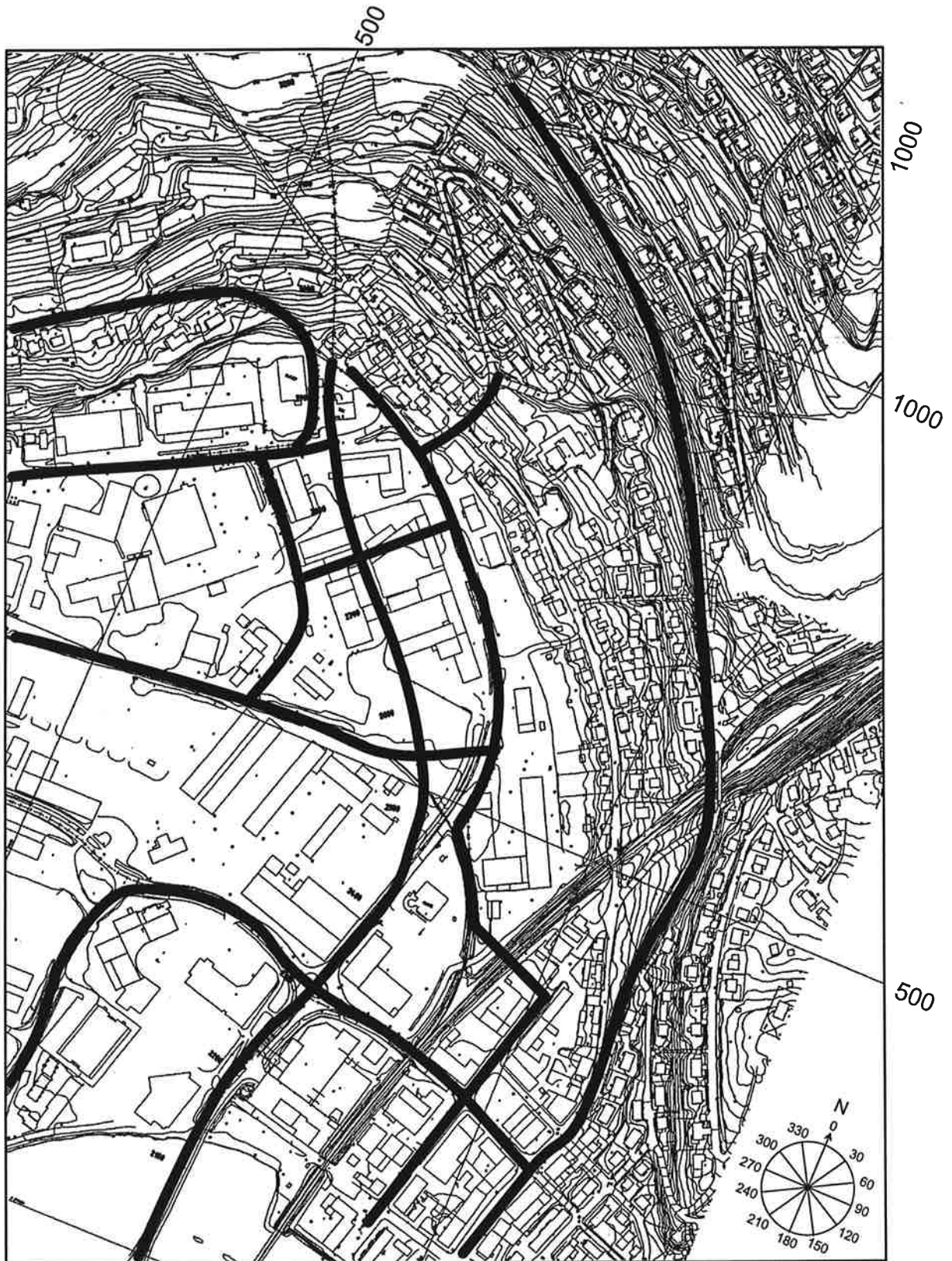
Tabell A1: Anbefalte luftkvalitetskriterier.

| Komponent | Måle-enhet | Virknings-område | Midlingstid | | | | | |
|---------------------------------------------------|------------------------------------------------------|------------------|-------------|-----|-----|----------|------|-----------|
| | | | 15 min | 1 t | 8 t | 24 t | 30 d | 6 mnd |
| NO ₂ Svevestøv, PM ₁₀ | $\mu\text{g}/\text{m}^3$ $\mu\text{g}/\text{m}^3$ | Helse Helse | 500 | 100 | | 75 35 | | 50 40* |

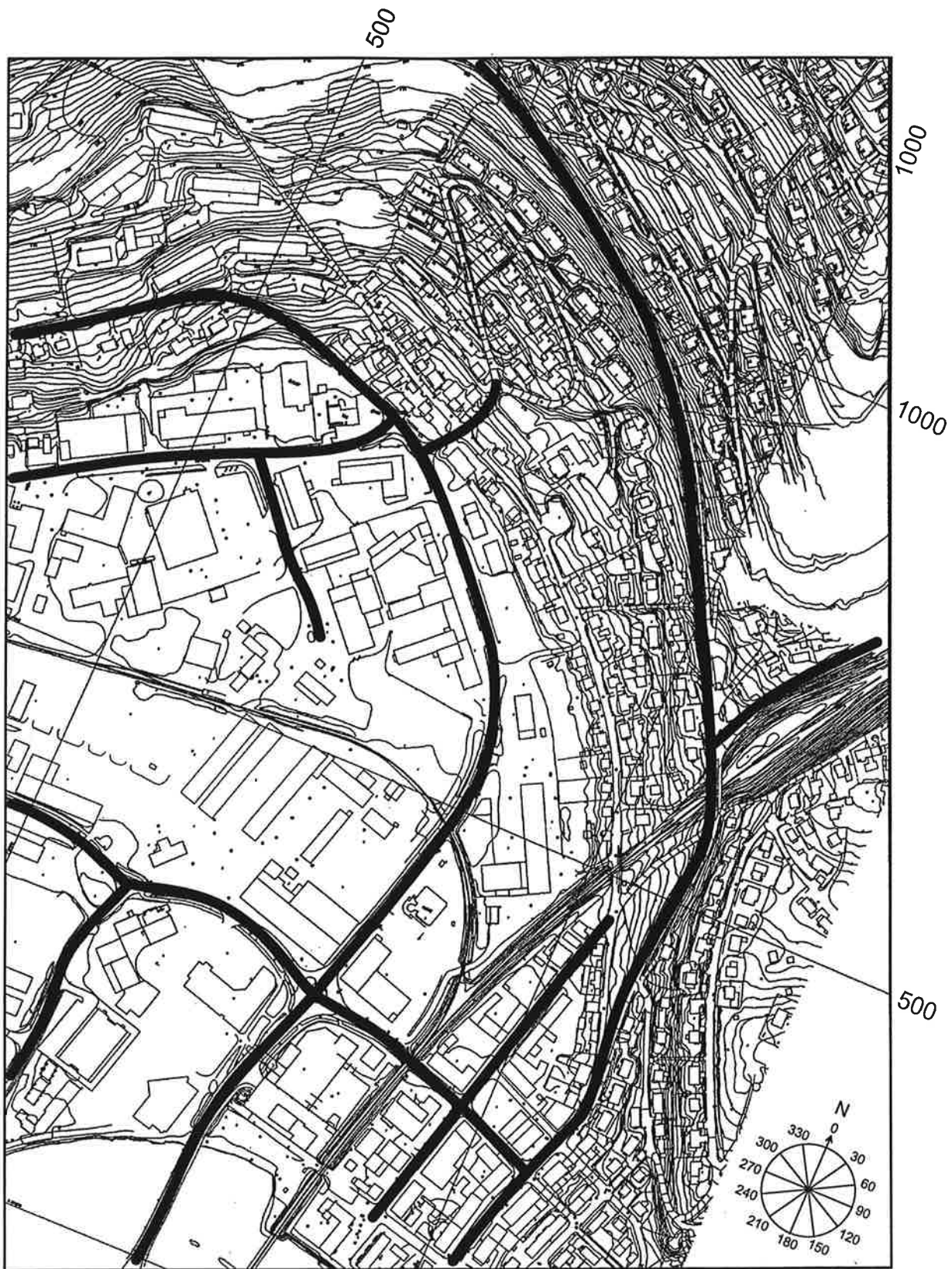
*Denne verdien er ikke revidert etter at 24t-verdien ble senket fra 70 til 35 $\mu\text{g}/\text{m}^3$.

Vedlegg B

Trafikktall



Figur B1: Veier som inngår i beregning av tunnelalternativet.



Figur B2: Veier som inngår i beregning av "Dagens løsning".

Tabell B1: Startpunkt, slutt punkt og trafikk tall (kj/tid) for veier som inngår i alternativet "tunnelløsning".

| x1 | y1 | x2 | y2 | timetraf |
|------|------|------|------|----------|
| 755 | 0 | 765 | 160 | 1400 |
| 765 | 160 | 810 | 290 | 1400 |
| 810 | 290 | 845 | 450 | 1610 |
| 845 | 450 | 815 | 525 | 1610 |
| 815 | 525 | 640 | 730 | 700 |
| 640 | 730 | 610 | 790 | 700 |
| 580 | 120 | 610 | 315 | 330 |
| 610 | 315 | 655 | 330 | 330 |
| 655 | 330 | 735 | 325 | 330 |
| 735 | 325 | 810 | 290 | 330 |
| 810 | 290 | 980 | 245 | 890 |
| 980 | 245 | 1060 | 210 | 600 |
| 930 | 110 | 980 | 245 | 300 |
| 980 | 245 | 999 | 370 | 200 |
| 1020 | 70 | 1060 | 210 | 770 |
| 1060 | 210 | 1080 | 270 | 530 |
| 1080 | 270 | 1090 | 570 | 530 |
| 1090 | 570 | 1060 | 650 | 530 |
| 1060 | 650 | 1150 | 800 | 330 |
| 1060 | 650 | 910 | 920 | 220 |
| 910 | 920 | 830 | 1000 | 220 |
| 830 | 1000 | 600 | 1150 | 220 |
| 400 | 475 | 645 | 510 | 400 |
| 645 | 510 | 705 | 520 | 980 |
| 705 | 520 | 780 | 515 | 980 |
| 780 | 515 | 815 | 525 | 980 |
| 815 | 525 | 880 | 560 | 390 |
| 345 | 605 | 555 | 725 | 400 |
| 555 | 725 | 645 | 630 | 560 |
| 645 | 630 | 670 | 590 | 560 |
| 670 | 590 | 645 | 510 | 560 |
| 645 | 630 | 755 | 730 | 35 |
| 555 | 725 | 605 | 760 | 70 |
| 605 | 760 | 570 | 840 | 70 |
| 570 | 840 | 510 | 855 | 70 |
| 510 | 855 | 455 | 845 | 70 |
| 455 | 845 | 275 | 705 | 70 |
| 999 | 370 | 930 | 395 | 150 |
| 930 | 395 | 895 | 460 | 150 |
| 895 | 460 | 880 | 500 | 150 |
| 880 | 500 | 880 | 560 | 150 |
| 880 | 560 | 845 | 630 | 120 |
| 845 | 630 | 755 | 730 | 120 |

| | | | | |
|-----|-----|-----|-----|----|
| 755 | 730 | 705 | 795 | 85 |
| 705 | 795 | 605 | 835 | 85 |
| 705 | 795 | 740 | 850 | 85 |

Vedlegg C

Beregningsresultater; NO_x fra trafikken i området

Tabell C1: Belastning av NO_x fra veitrafikken for trafikksituasjon med ny E6 i tunnel.

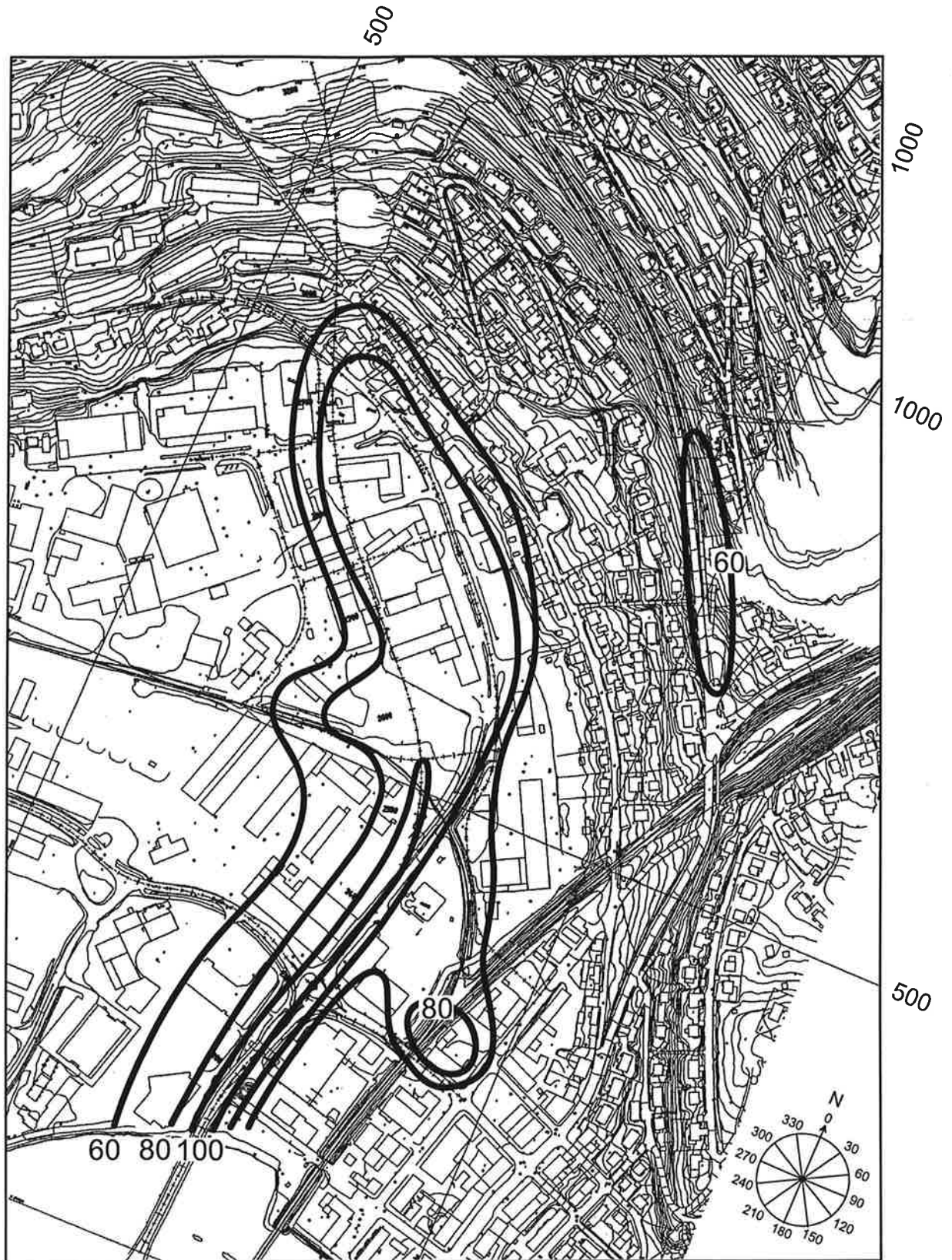
| Punkt | X | Y | 30. | 60. | 90. | 120. | 150. | 180. | 210. | 240. | 270. | 300. | 330. | 360. |
|-------|------|-----|------|------|------|------|------|------|------|------|------|------|------|------|
| 1 | 830 | 260 | 100. | 107. | 105. | 18. | 3. | 2. | 102. | 135. | 127. | 156. | 258. | 265. |
| 2 | 875 | 260 | 137. | 162. | 193. | 27. | 10. | 0. | 34. | 60. | 65. | 239. | 247. | 155. |
| 3 | 785 | 375 | 80. | 117. | 116. | 133. | 146. | 104. | 16. | 25. | 1. | 13. | 45. | 48. |
| 4 | 810 | 365 | 256. | 236. | 209. | 230. | 277. | 263. | 19. | 23. | 3. | 13. | 44. | 68. |
| 5 | 840 | 360 | 13. | 12. | 12. | 24. | 46. | 45. | 332. | 259. | 213. | 225. | 297. | 297. |
| 6 | 875 | 350 | 16. | 15. | 14. | 21. | 51. | 36. | 109. | 111. | 98. | 105. | 154. | 25. |
| 7 | 925 | 430 | 11. | 10. | 11. | 14. | 41. | 47. | 89. | 92. | 86. | 144. | 35. | 4. |
| 8 | 715 | 550 | 37. | 40. | 58. | 143. | 138. | 103. | 94. | 88. | 32. | 43. | 35. | 38. |
| 19 | 895 | 585 | 4. | 12. | 9. | 9. | 14. | 31. | 122. | 101. | 47. | 35. | 4. | 4. |
| 10 | 870 | 615 | 4. | 9. | 9. | 8. | 16. | 94. | 97. | 68. | 52. | 41. | 5. | 3. |
| 11 | 710 | 630 | 102. | 102. | 119. | 167. | 98. | 47. | 55. | 39. | 38. | 29. | 142. | 124. |
| 12 | 750 | 670 | 10. | 11. | 15. | 13. | 77. | 101. | 72. | 64. | 69. | 39. | 2. | 8. |
| 13 | 665 | 670 | 78. | 79. | 92. | 109. | 74. | 83. | 47. | 38. | 50. | 21. | 59. | 89. |
| 14 | 690 | 695 | 4. | 6. | 13. | 13. | 175. | 145. | 119. | 111. | 130. | 109. | 12. | 4. |
| 15 | 775 | 735 | 3. | 3. | 7. | 7. | 41. | 100. | 57. | 47. | 35. | 9. | 2. | 3. |
| 16 | 755 | 760 | 3. | 3. | 7. | 8. | 41. | 82. | 47. | 36. | 27. | 8. | 2. | 3. |
| 17 | 750 | 785 | 3. | 3. | 6. | 8. | 31. | 72. | 40. | 36. | 18. | 4. | 3. | 4. |
| 18 | 725 | 795 | 4. | 3. | 5. | 8. | 41. | 63. | 41. | 43. | 21. | 7. | 5. | 9. |
| 29 | 680 | 775 | 8. | 7. | 8. | 14. | 67. | 71. | 52. | 61. | 36. | 5. | 4. | 6. |
| 20 | 675 | 820 | 3. | 4. | 7. | 13. | 59. | 63. | 50. | 43. | 12. | 1. | 0. | 3. |
| 21 | 650 | 835 | 3. | 3. | 5. | 12. | 66. | 68. | 56. | 15. | 10. | 0. | 0. | 3. |
| 22 | 685 | 840 | 3. | 3. | 6. | 10. | 46. | 55. | 41. | 23. | 6. | 0. | 0. | 3. |
| 23 | 655 | 855 | 3. | 3. | 4. | 9. | 54. | 59. | 42. | 8. | 5. | 0. | 0. | 3. |
| 24 | 575 | 810 | 15. | 16. | 19. | 67. | 117. | 37. | 21. | 2. | 2. | 5. | 9. | 18. |
| 25 | 480 | 835 | 12. | 12. | 10. | 37. | 66. | 14. | 5. | 6. | 8. | 10. | 9. | 9. |
| 26 | 410 | 835 | 1. | 4. | 18. | 49. | 47. | 19. | 10. | 1. | 0. | 0. | 0. | 0. |
| 27 | 415 | 680 | 3. | 14. | 68. | 86. | 60. | 39. | 35. | 1. | 0. | 2. | 2. | 2. |
| 28 | 490 | 725 | 4. | 12. | 62. | 102. | 67. | 39. | 36. | 6. | 1. | 2. | 2. | 2. |
| 29 | 450 | 620 | 34. | 26. | 30. | 53. | 31. | 9. | 1. | 0. | 25. | 29. | 29. | 29. |
| 30 | 530 | 665 | 42. | 47. | 53. | 65. | 39. | 10. | 5. | 3. | 30. | 29. | 28. | 29. |
| 31 | 750 | 200 | 152. | 176. | 147. | 129. | 146. | 115. | 0. | 2. | 7. | 7. | 19. | 37. |
| 32 | 970 | 275 | 50. | 44. | 41. | 65. | 127. | 123. | 87. | 115. | 115. | 45. | 54. | 11. |
| 33 | 1000 | 170 | 53. | 54. | 46. | 46. | 47. | 6. | 0. | 32. | 42. | 71. | 115. | 48. |
| 34 | 1050 | 650 | 88. | 107. | 85. | 105. | 126. | 31. | 50. | 36. | 25. | 1. | 42. | 53. |
| 35 | 970 | 775 | 27. | 25. | 32. | 39. | 30. | 19. | 41. | 25. | 11. | 0. | 16. | 32. |
| 36 | 990 | 820 | 0. | 0. | 1. | 7. | 20. | 48. | 62. | 43. | 29. | 29. | 10. | 0. |
| 37 | 910 | 860 | 19. | 19. | 20. | 26. | 19. | 27. | 28. | 19. | 2. | 0. | 13. | 18. |
| 38 | 850 | 930 | 16. | 16. | 17. | 17. | 15. | 58. | 24. | 14. | 0. | 1. | 14. | 17. |

Tabell C2: Belastning av av NO_x fra veitrafikken for dagens veiløsning.

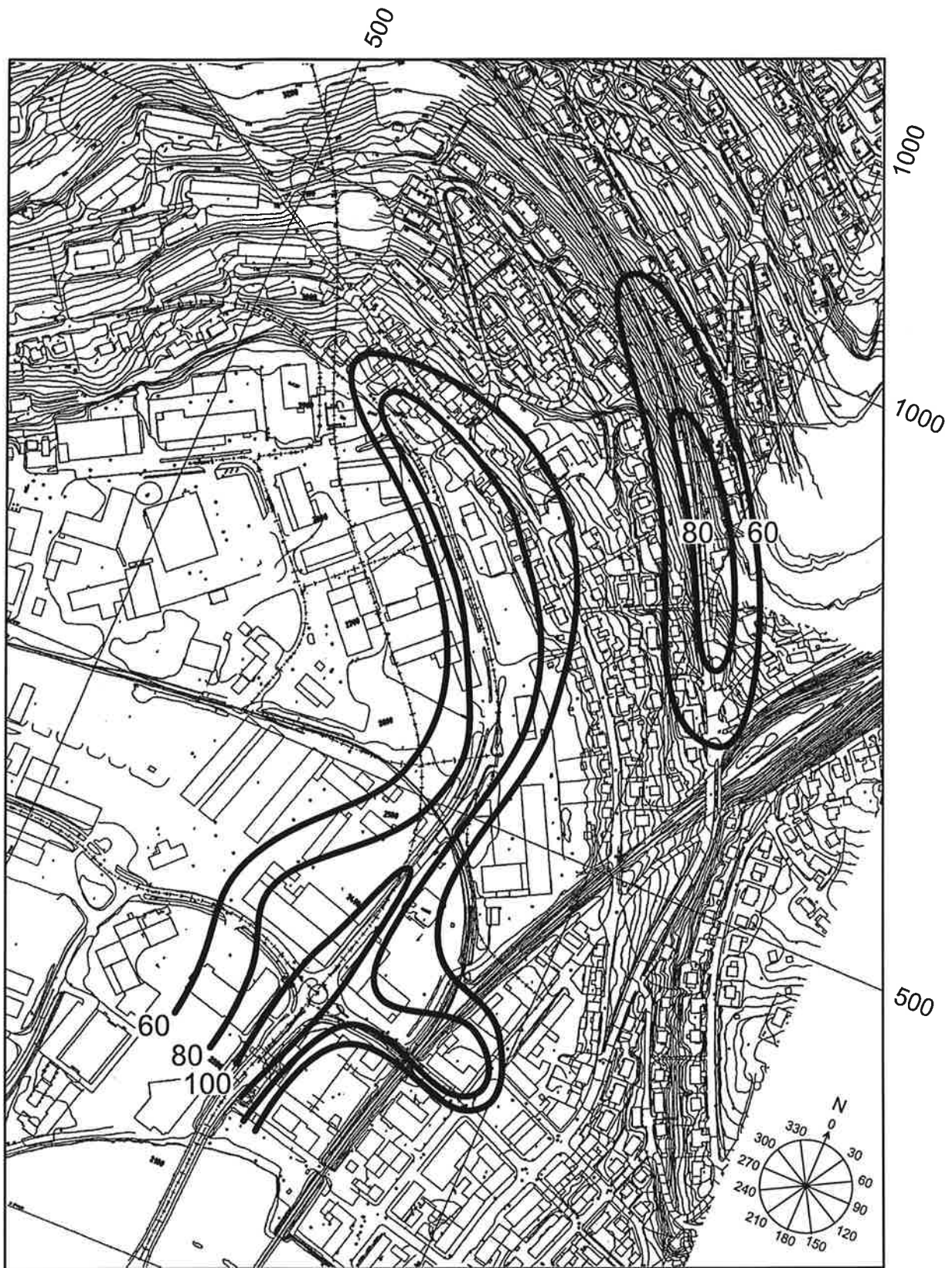
| Punkt | X | Y | 30. | 60. | 90. | 120. | 150. | 180. | 210. | 240. | 270. | 300. | 330. | 360. |
|-------|------|-----|------|------|------|------|------|------|------|------|------|------|------|------|
| 1 | 830 | 260 | 166. | 181. | 180. | 22. | 3. | 2. | 84. | 112. | 107. | 164. | 231. | 236. |
| 2 | 875 | 260 | 229. | 274. | 330. | 35. | 11. | 0. | 28. | 50. | 58. | 329. | 278. | 245. |
| 3 | 785 | 375 | 45. | 56. | 54. | 90. | 107. | 104. | 33. | 49. | 4. | 3. | 14. | 21. |
| 4 | 810 | 365 | 106. | 99. | 91. | 124. | 155. | 169. | 35. | 45. | 10. | 3. | 13. | 23. |
| 5 | 840 | 360 | 18. | 16. | 18. | 41. | 72. | 67. | 217. | 148. | 108. | 97. | 126. | 177. |
| 6 | 875 | 350 | 18. | 18. | 22. | 36. | 79. | 61. | 119. | 77. | 61. | 41. | 51. | 48. |
| 7 | 925 | 430 | 21. | 23. | 23. | 24. | 41. | 34. | 66. | 47. | 26. | 32. | 52. | 17. |
| 8 | 715 | 550 | 24. | 26. | 26. | 28. | 44. | 25. | 9. | 0. | 1. | 6. | 20. | 22. |
| 9 | 895 | 585 | 16. | 24. | 20. | 19. | 24. | 31. | 139. | 66. | 68. | 95. | 24. | 14. |
| 10 | 870 | 615 | 15. | 20. | 20. | 17. | 30. | 180. | 102. | 82. | 91. | 145. | 28. | 13. |
| 11 | 710 | 630 | 29. | 29. | 32. | 27. | 44. | 21. | 4. | 0. | 8. | 24. | 13. | 27. |
| 12 | 750 | 670 | 50. | 50. | 55. | 46. | 45. | 34. | 5. | 0. | 11. | 27. | 17. | 53. |
| 13 | 665 | 670 | 28. | 28. | 32. | 25. | 40. | 13. | 4. | 5. | 16. | 43. | 27. | 22. |
| 14 | 690 | 695 | 36. | 35. | 41. | 32. | 42. | 17. | 2. | 3. | 18. | 50. | 14. | 27. |
| 15 | 775 | 735 | 12. | 13. | 17. | 16. | 142. | 142. | 91. | 88. | 129. | 128. | 7. | 11. |
| 16 | 755 | 760 | 12. | 13. | 16. | 17. | 137. | 132. | 86. | 88. | 133. | 113. | 5. | 12. |
| 17 | 750 | 785 | 13. | 13. | 16. | 17. | 83. | 95. | 61. | 70. | 93. | 18. | 5. | 13. |
| 18 | 725 | 795 | 13. | 12. | 15. | 17. | 141. | 125. | 86. | 115. | 134. | 24. | 6. | 18. |
| 19 | 680 | 775 | 53. | 63. | 69. | 74. | 41. | 15. | 2. | 44. | 58. | 32. | 38. | 52. |
| 20 | 675 | 820 | 12. | 12. | 15. | 76. | 142. | 79. | 111. | 114. | 14. | 1. | 0. | 11. |
| 21 | 650 | 835 | 12. | 11. | 13. | 66. | 95. | 54. | 81. | 15. | 11. | 0. | 0. | 10. |
| 22 | 685 | 840 | 13. | 13. | 15. | 21. | 125. | 51. | 66. | 34. | 6. | 0. | 0. | 13. |
| 23 | 655 | 855 | 13. | 12. | 12. | 23. | 93. | 44. | 68. | 8. | 4. | 0. | 0. | 12. |
| 24 | 575 | 810 | 14. | 14. | 40. | 52. | 98. | 110. | 22. | 2. | 2. | 4. | 5. | 8. |
| 25 | 480 | 835 | 16. | 18. | 21. | 54. | 52. | 10. | 5. | 5. | 7. | 8. | 7. | 7. |
| 26 | 410 | 835 | 4. | 11. | 27. | 57. | 38. | 14. | 8. | 1. | 0. | 0. | 0. | 0. |
| 27 | 415 | 680 | 9. | 39. | 58. | 55. | 53. | 31. | 32. | 1. | 0. | 2. | 2. | 2. |
| 28 | 490 | 725 | 10. | 34. | 112. | 53. | 56. | 32. | 33. | 5. | 1. | 1. | 1. | 1. |
| 29 | 450 | 620 | 42. | 28. | 21. | 30. | 24. | 0. | 0. | 0. | 23. | 26. | 26. | 27. |
| 30 | 530 | 665 | 125. | 24. | 26. | 21. | 28. | 5. | 0. | 2. | 27. | 26. | 25. | 28. |
| 31 | 750 | 200 | 122. | 177. | 135. | 108. | 120. | 94. | 0. | 2. | 7. | 13. | 22. | 38. |
| 32 | 970 | 275 | 67. | 62. | 58. | 101. | 198. | 181. | 143. | 173. | 168. | 17. | 27. | 19. |
| 33 | 1000 | 170 | 109. | 87. | 59. | 59. | 61. | 7. | 0. | 29. | 39. | 79. | 108. | 87. |
| 34 | 1050 | 650 | 192. | 199. | 185. | 232. | 274. | 58. | 42. | 17. | 20. | 5. | 161. | 201. |
| 35 | 970 | 775 | 103. | 96. | 103. | 129. | 80. | 25. | 29. | 12. | 24. | 0. | 60. | 123. |
| 36 | 990 | 820 | 0. | 0. | 1. | 7. | 48. | 136. | 119. | 97. | 103. | 111. | 38. | 0. |
| 37 | 910 | 860 | 74. | 71. | 74. | 86. | 51. | 30. | 19. | 20. | 3. | 2. | 49. | 70. |
| 38 | 850 | 930 | 62. | 62. | 63. | 57. | 36. | 47. | 13. | 25. | 0. | 5. | 55. | 66. |

Vedlegg D

Isokonsentrasjonskurver for belastning av NO_x ved sørlig vind



Figur D1: Isokonzentrationskurver for NO_2 ved vind fra sør (180°).
Tunnelalternativet



Figur D2: Isokonzentrationskurver for NO_2 ved vind fra sør (180°).
Dagens løsning.



Norsk institutt for luftforskning (NILU)
Postboks 100, N-2007 Kjeller

| | | | |
|-------------------------------------------------------------------------------------------------------------------------------------------------------------------------------------------------------------------------------------------------------------------------------------------------------------------------------------------------------------------------------------------------------------------------------------------------------------------------------------------------------------------|-----------------------------------|--------------------------------------|------------------|
| RAPPORTTYPE OPPDRAKSRAPPORT | RAPPORT NR. OR 60/98 | ISBN 82-425-1020-2 ISSN 0807-7207 | |
| DATO <i>16.10.98</i> | ANSV. SIGN. <i>Øystein Høn</i> | ANT. SIDER 42 | PRIS NOK 75,- |
| TITTEL Beregning av trafikkforurensning i Steinkjer i forbindelse med planer for ny E6 | | PROSJEKTLEDER Dag Tønnesen | |
| | | NILU PROSJEKT NR. O-98051 | |
| FORFATTER(E) Dag Tønnesen | | TILGJENGELIGHET * A | |
| | | OPPDRAKSGIVERS REF. | |
| OPPDRAKSGIVER Statens vegvesen, Nord-Trøndelag vegkontor Postboks 2033 7701 Steinkjer | | | |
| STIKKORD Trafikkforurensning | Modellberegning | Vegalternativer | |
| REFERAT Det er beregnet forurensning av NO ₂ for alternative løsninger av E6 nord for Steinkjer sentrum. Svevestøvforurensning er anslått på bakgrunn av beregnet NO ₂ og målinger av NO ₂ og svevestøv i området. Tunnelalternativet vil ikke gi overskridelse av luftkvalitetskriteriet for NO ₂ ved boenheter. Videreføring av dagens løsning gir overskridelser. For svevestøv vil luftkvalitetskriteriet kunne overskrides i hele området uansett vegløsning. | | | |
| TITLE Calculation of traffic-generated air pollution in Steinkjer in connection with development of new E6 in the area. | | | |
| ABSTRACT | | | |

* Kategorier: A Åpen - kan bestilles fra NILU
B Begrenset distribusjon
C Kan ikke utleveres